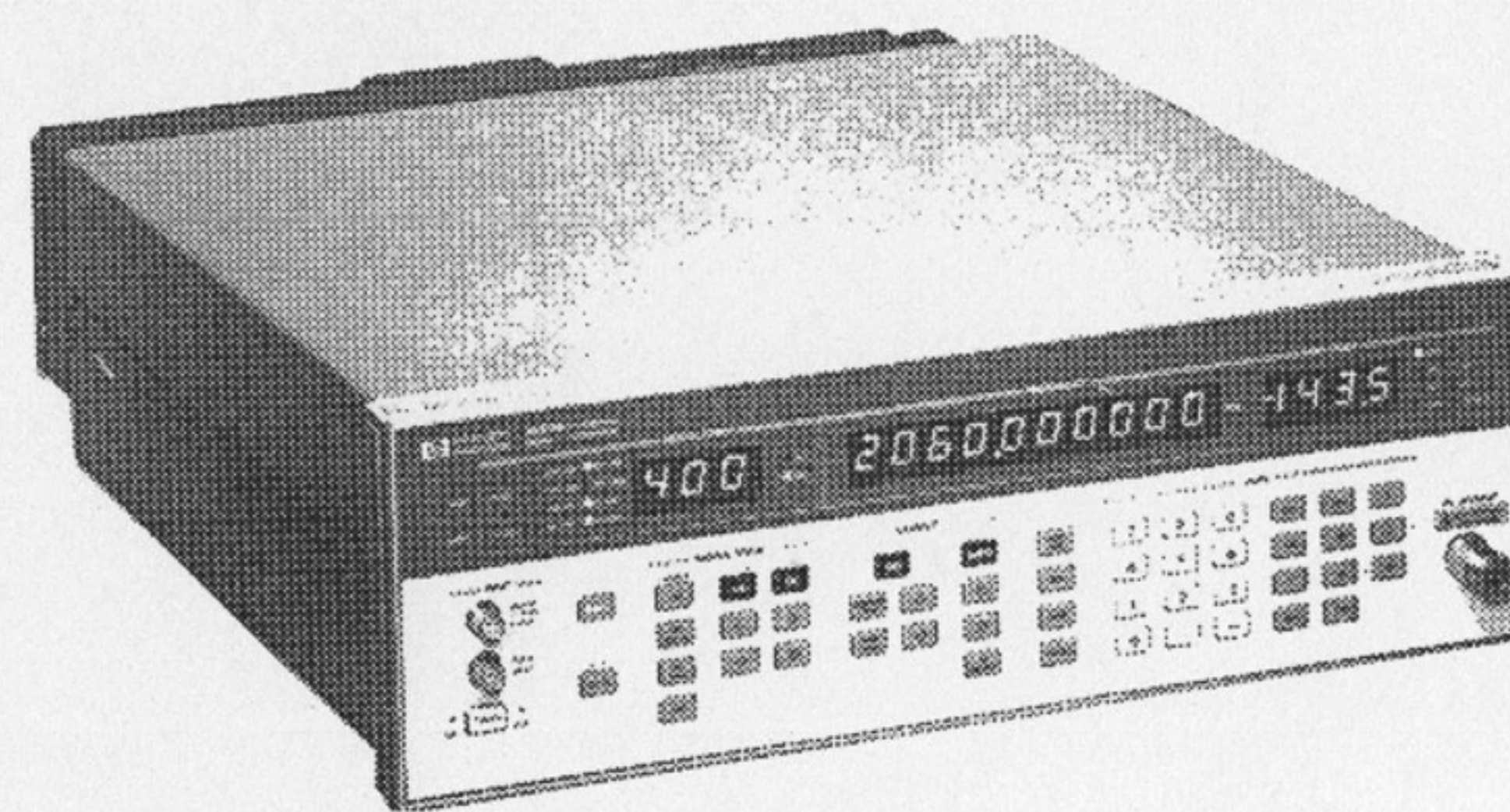


# *Генератори на електрически сигнали*



**Ра  
зде  
л  
вто  
ри**

## 3

## Електрически сигнали и тяхното генериране

### Ключови думи:

- Сигнал
- Форма
- Честота
- Амплитуда
- Автогенератор
- Атенюатор

**Какви знания и умения ще придобиете? Къде се прилагат?**

*Тази тема ще обогати вашите познания относно:*

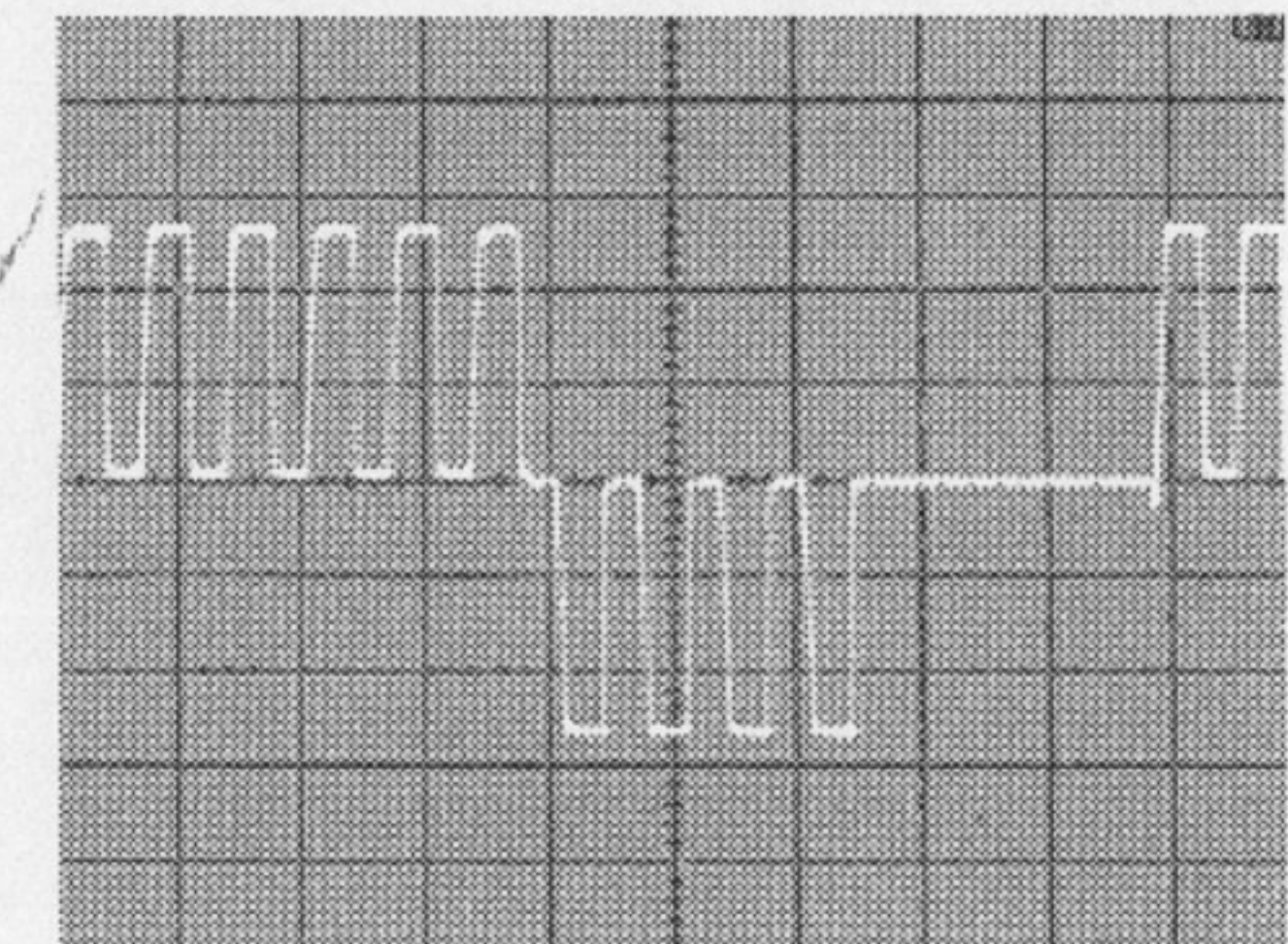
- параметрите на електрическите сигнали, използвани най-често в инженерната практика;
- основните методи и схеми за генериране на електрически сигнали.

*Усвояването на темата ще изгради у вас умения:*

- да преценявате правилно качествата на различни фирмени генератори и да избирате подходящи образци за вашия експеримент;
- да ползвате компютърни генератори във вашата практика.

*Получените знания и умения ще са полезни в много области:*

- нискочестотна и аудиотехника;
- радиосъобщения и телекомуникации;
- автоматизация на производството;



- проектиране, производство и експлоатация на електронна и изчислителна техника и др.

### Въведение

С помощта на електрическите сигнали – носители на определен тип информация, се осъществяват електронните комуникации в обществото.

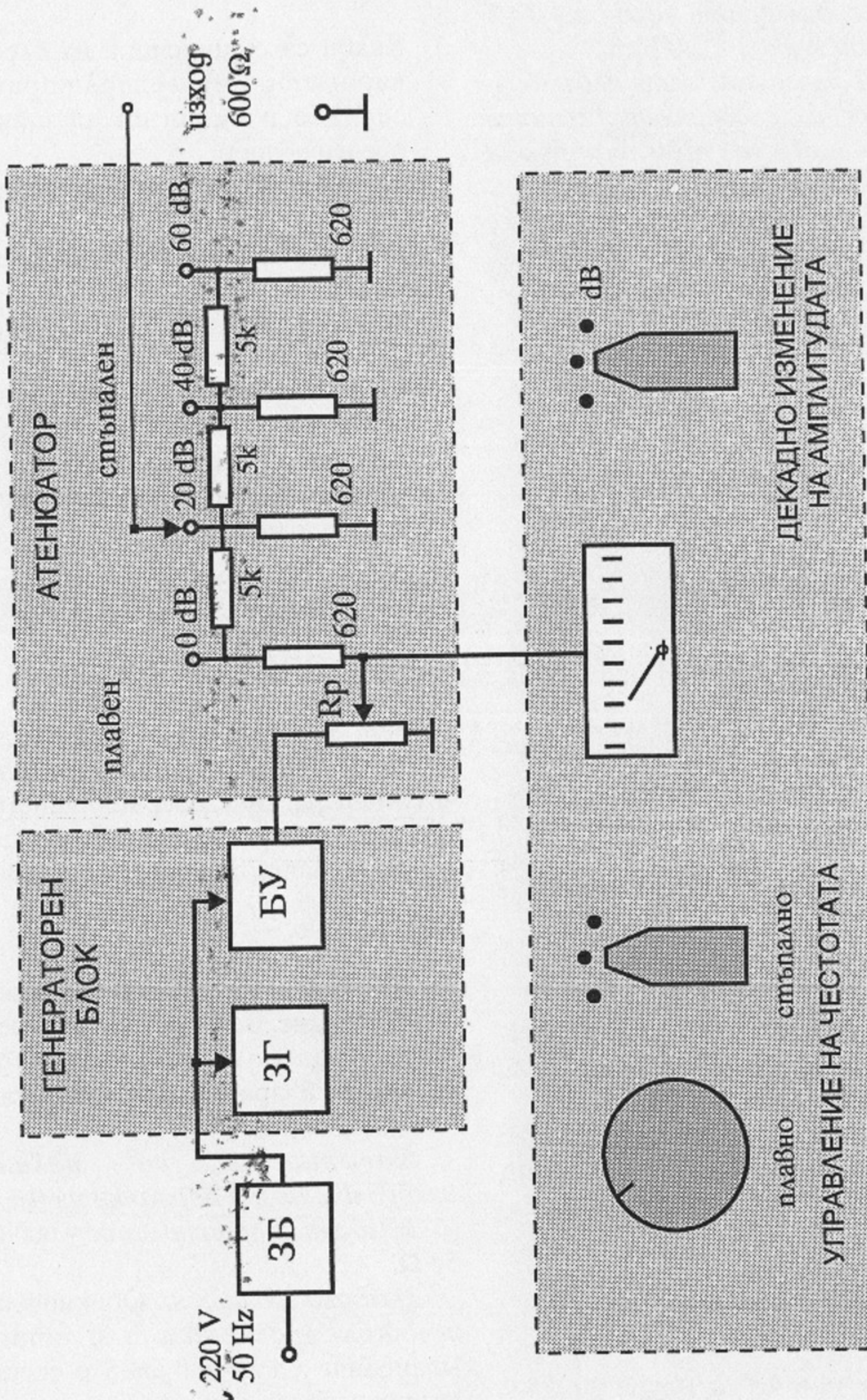
Основната цел, която трябва да се постигне с тази тема, е утвърждаване на практически познания за основните характеристики на електрическите сигнали и методите за тяхното генериране.

*В изпълнение на тази основна цел се дава отговор на следните въпроси:*

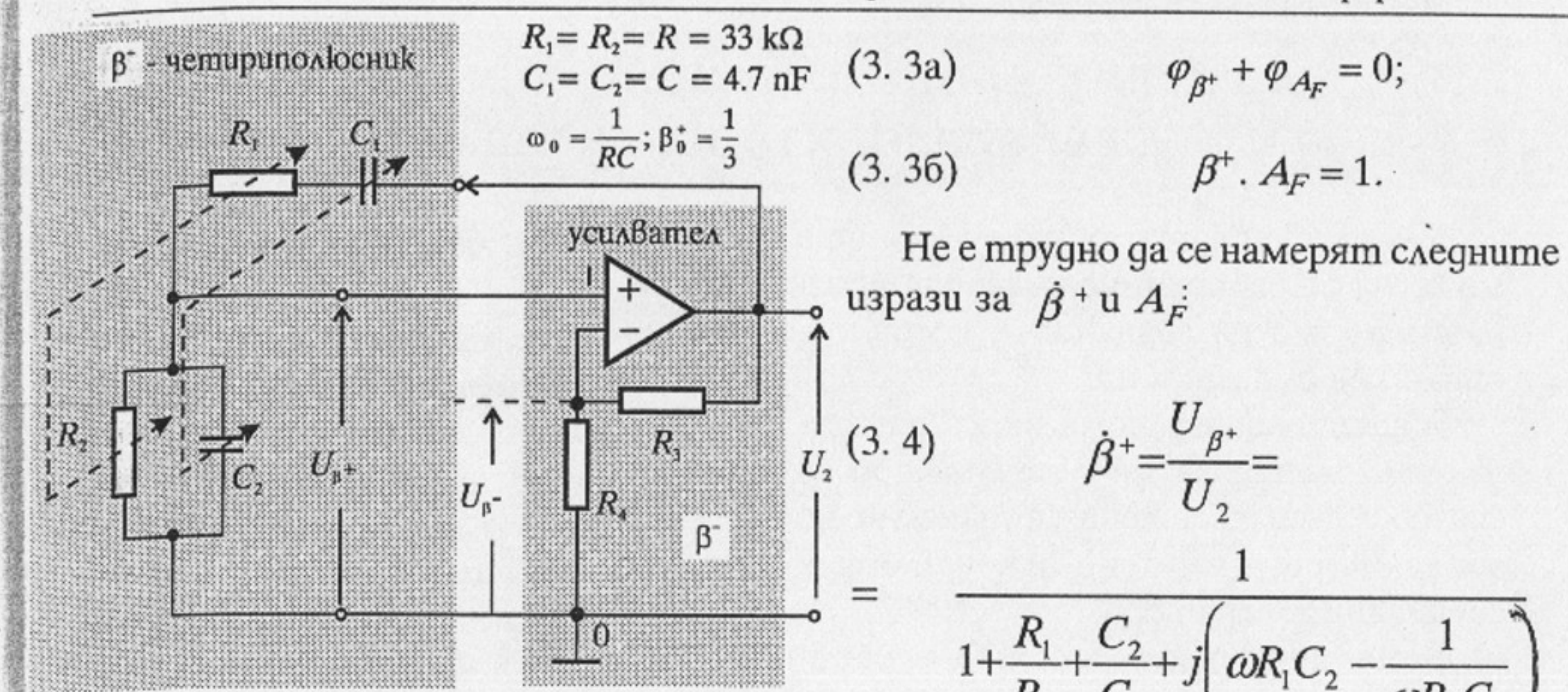
- Какво представляват електрическите сигнали? Кои параметри характеризират тяхната същност?
- Кой ги генерира?
- В коя област на техниката се използват?

Основно място е отделено на генераторите на немодулирани и модулирани електрически трептения и на генераторите на импулсни сигнали.





Фиг. 3.2. Структурна схема на нискочестотен генератор



Фиг. 3.3. Автогенератор с мост на Вин

състои от усилвател с дълбока отрицателна обратна връзка (резистори  $R_3, R_4$ ), обхванат с положителна обратна връзка чрез честотно зависимия четириполюсник, съставен от елементите  $R_1, C_1, R_2, C_2$ .

Знае се, че при положителна обратна връзка коефициентът на усилване  $A_{F^*}$  се изразява с формулата:

$$(3.1) \quad A_{F^*} = \frac{A_F}{1 - \beta^+ \cdot A_F},$$

където  $A_F$  е коефициентът на усилване на усилвателната част;  $\beta^+$  – коефициентът на предаване на честотно зависимия четириполюсник.

Схемата се самовъзбудява при условие, че знаменателят в (3.1) стане равен на нула, при което се получава

$$(3.2) \quad \beta^+ \cdot e^{j\varphi_{\beta^+}} \cdot A_F \cdot e^{j\varphi_{A_F}} = 1,$$

където  $\beta^+$  и  $A_F$  са модулите, а  $\varphi_{\beta^+}$  и  $\varphi_{A_F}$  – фазите на съответните величини.

От (3.2) се получават амплитудното и фазовото условие за самовъзбуддане:

$$R_1 = R_2 = R = 33 \text{ k}\Omega \quad (3.3a)$$

$$\varphi_{\beta^+} + \varphi_{A_F} = 0;$$

$$(3.3b) \quad \beta^+ \cdot A_F = 1.$$

Не е трудно да се намерят следните изрази за  $\beta^+$  и  $A_F$ :

$$(3.4) \quad \beta^+ = \frac{U_{\beta^+}}{U_2} = \frac{1}{1 + \frac{R_1 + C_2 / C_1}{R_2} + j \left( \omega R_1 C_2 - \frac{1}{\omega R_2 C_1} \right)}$$

$$(3.5) \quad A_F = A_F \cdot e^{j\varphi_{A_F}}.$$

Когато се приеме  $\varphi_{A_F} = 0$ , то от (3.3a) следва, че  $\varphi_{\beta^+} = 0$ , т. е.  $\beta^+$  трябва да е реално число.

Това е възможно при  $\omega R_1 C_2 = \frac{1}{\omega R_2 C_1}$ ,

откъдето се получават честотата на възможната генерация и модулът на коефициента на предаване на  $\beta^+$  четириполюсника:

$$(3.6) \quad f_0 = \frac{1}{2\pi\sqrt{R_1 R_2 C_1 C_2}};$$

$$(3.6a) \quad \beta_0^+ = \frac{1}{1 + \frac{R_1}{R_2} + \frac{C_2}{C_1}}.$$

Като се имат предвид (3.3b) и (3.5), се намира

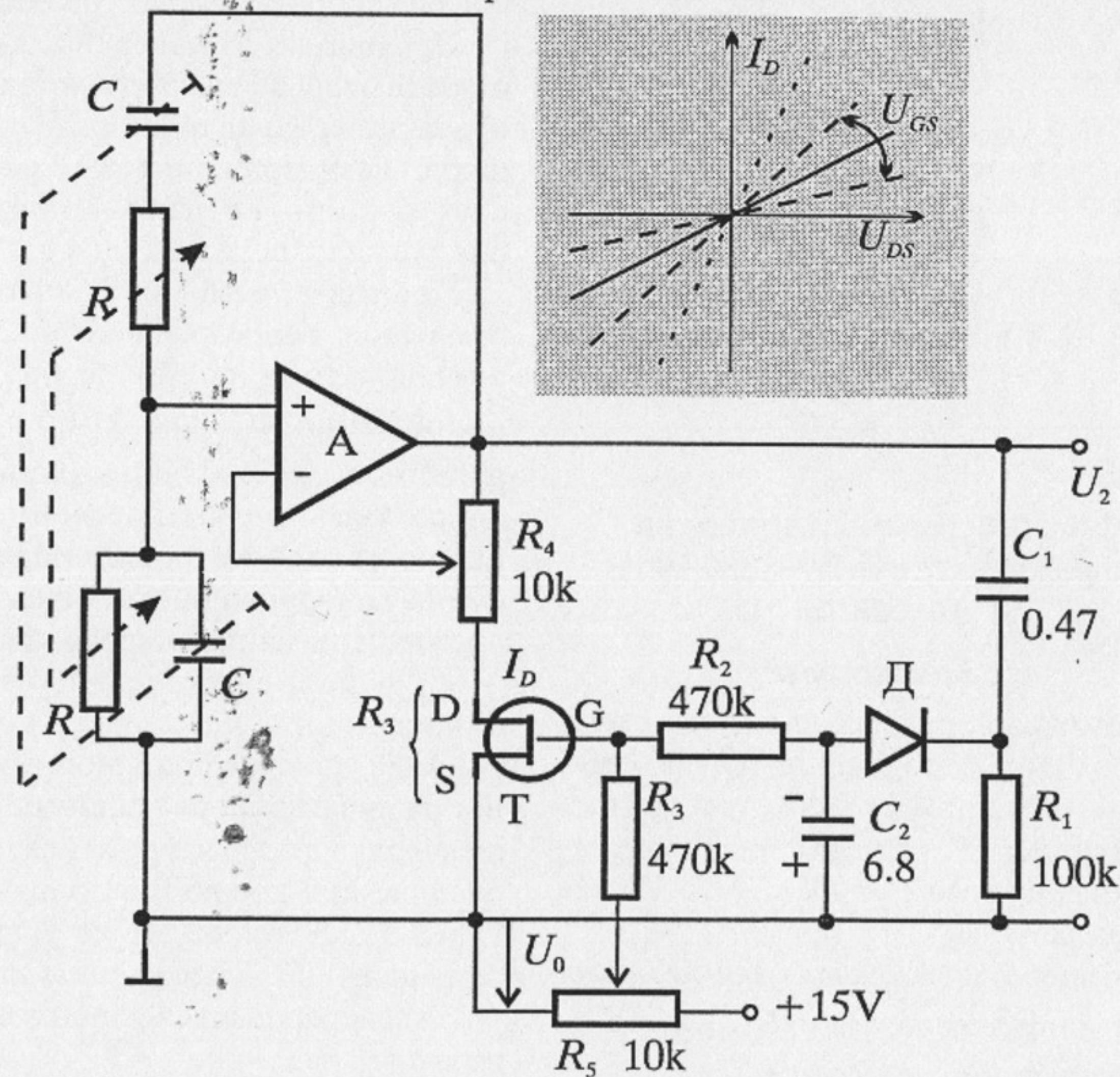
$$(3.7) \quad \frac{R_4}{R_3 + R_4} = \beta_0^+.$$

### Проблеми

- Когато от конструктивно-технологични удобства се избере

$R_1 = R_2 = R$  и  $C_1 = C_2 = C$ , допуските в параметрите на тези елементи причиняват изменение в коефициента на предаване  $\beta_0^+$ . Когато неговата стойност се увеличи, нараства амплитудата на генерираното напрежение и съответно клирфакторът на сигнала. Когато допуските в елементите предизвикат намаление на  $\beta_0^+$ , генерираната амплитуда намалява и е възможно изчезване на генерациите.

2. При появя на фазова разлика в усилвателния елемент честотата на генерирания сигнал е изместена спрямо квазирезонансната честота  $f_0 = \frac{1}{2\pi RC}$  на четириполюсника, включен в положителната обрат-



Фиг. 3.4. RC-генератор с АРУ

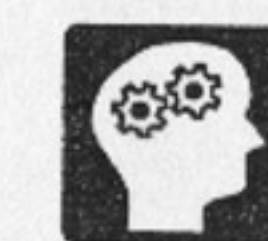
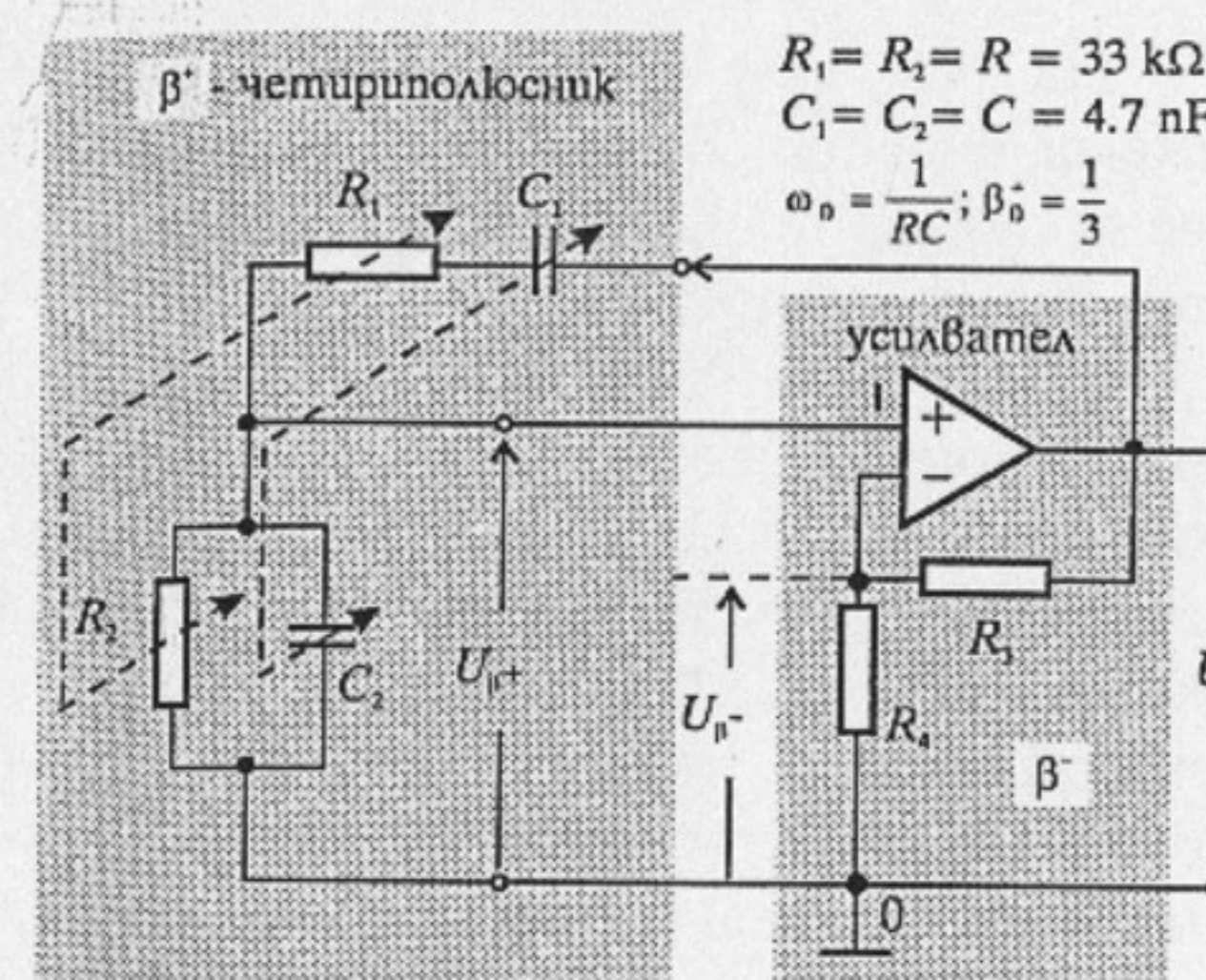
на връзка на схемата. Осцилациите са нестабилни.

#### Решение на проблемите

- Използване на усилватели с гранична честота, превишаваща най-високата честота на генерации.
- Използване на RC-елементи с малки допуски.
- Прилагане на амплитудно зависима отрицателна обратна връзка, с която се постига автоматично регулиране на усилването (АРУ). Една от възможните реализации на такава обратна връзка е показана на фиг. 3.4.

Разглежданите генератори често се наричат генератори от RC-тип. В тях покриваният честотен обхват се

разделя на подобхвати: 20 Hz – 200 Hz, 2 kHz – 20 kHz и т. н. За целта се превключват едновременно кондензаторите  $C_1$  и  $C_2$  със съответните стойности за всеки подобхват. Плавното изменение на честотата се постига чрез използване на своен потенциометър. Възможна е и обратната комбинация – плавно изменение на капацитетите и десадно изменение на съпротивлението.



#### Контролни въпроси 3.2

- Какви групи генератори на сигнали познавате?
- В коя област на техниката се използват нискочестотните генератори на хармонични трептения?
- Каква е структурата на генераторите на нискочестотни сигнали? Кои параметри на сигналите могат да се управляват?
- Обяснете физичната същност на процеса на автогенерация на синусоидални сигнали в съответствие със схемата на фиг. 3.3.
- Кои фактори влияят върху нестабилността на трептенията в честотната област? Какви мерки се предприемат за намаляване на това влияние?



#### Задачи 3.2

- За схемата от фигуранта намерете честотата на генерация  $f_0$  и коефициента на усилване  $A_F$  при условие, че:  $R_1 = R_2 = R = 1 k\Omega$ ;  $C_1 = C_2 = C = 160 nF$ ;  $\phi_{A_F} = 0$ . Оразмерете резисторите  $R_3$  и  $R_4$ .

№ 1 № 2

#### 3.3. Функционални генератори

Функционални генератори са устройства, които произвеждат сигнали със синусоидална, правоъгълна и тригонообразна форма.

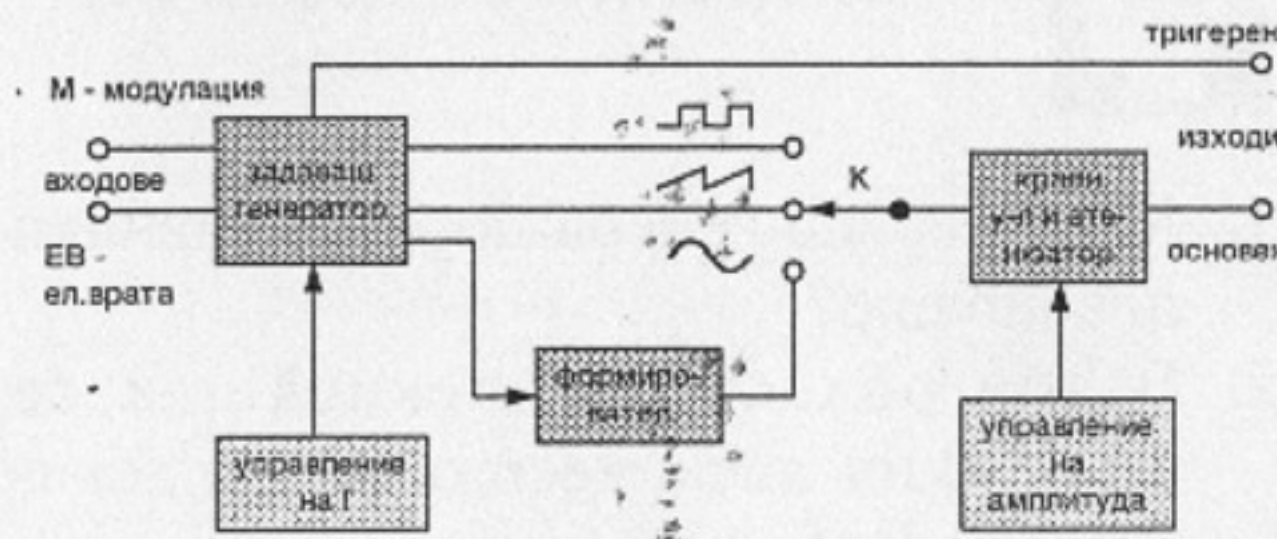
В първото поколение функционални генератори управлението на параметрите на сигналите се осъществява от лицевия панел с помощта на прог-

рамни превключватели.

Второто поколение функционални генератори е с микропроцесорно управление и гъвкава логика. Параметрите се задават програмно с помощта на управляващи бутони, разположени на лицевия панел.

### 3.3.1. Структурна схема на функционален генератор

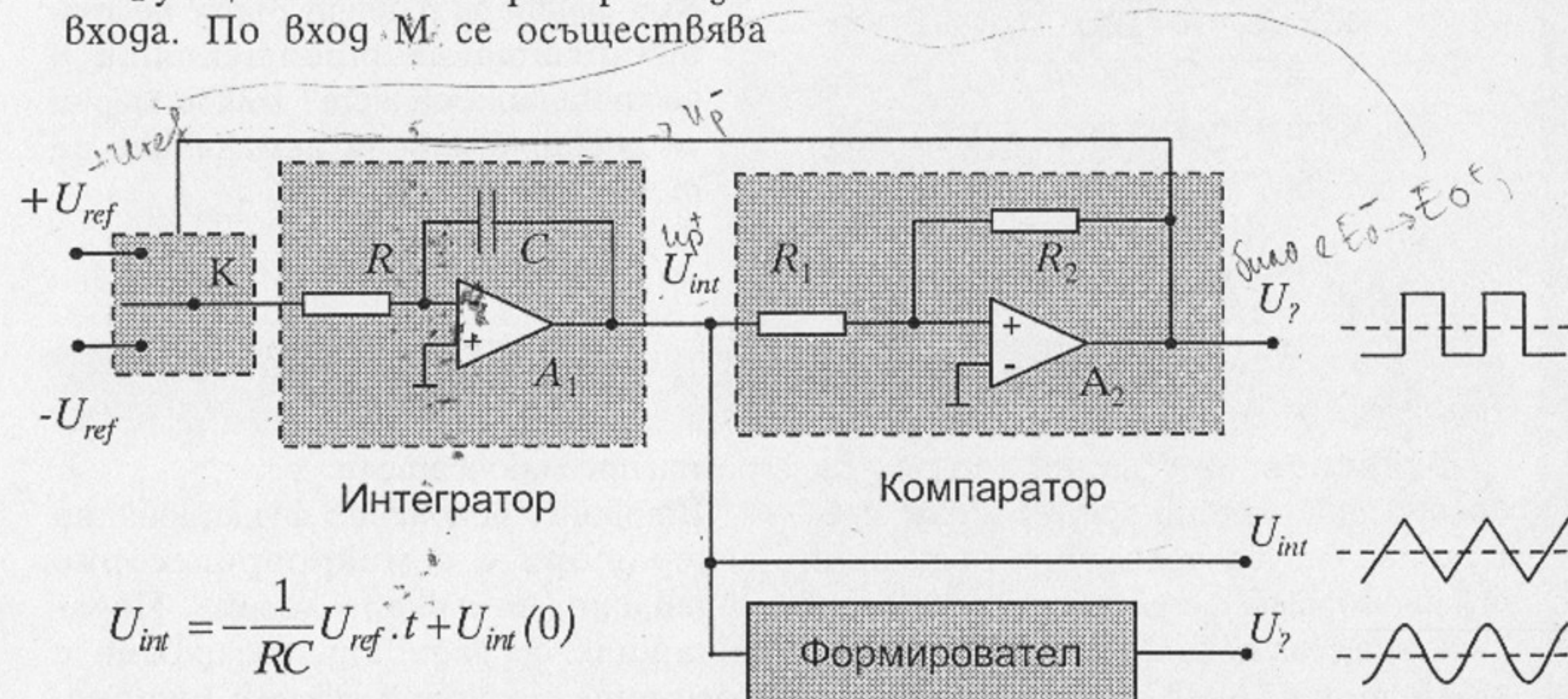
Съществуват различни структурни схеми на функционалните генератори. Един такъв опростен вариант е показан на фиг. 3.5. Схемата е съставена от: блок за генериране на периодичния сигнал; блок за програмно задаване на честотата; блок за формиране на синусоидална форма; краен усилвател и аттенюатор за управление на нивото на изходния сигнал. С ключа К се избира формата на изходното напрежение.



Фиг. 3.5. Структурна схема на функционален генератор

В структурната схема са показани два изхода: основен и тригераен. Тригерният изход служи за пускане в действие на други схеми и устройства.

Функционалният генератор има два входа. По вход  $M$  се осъществява



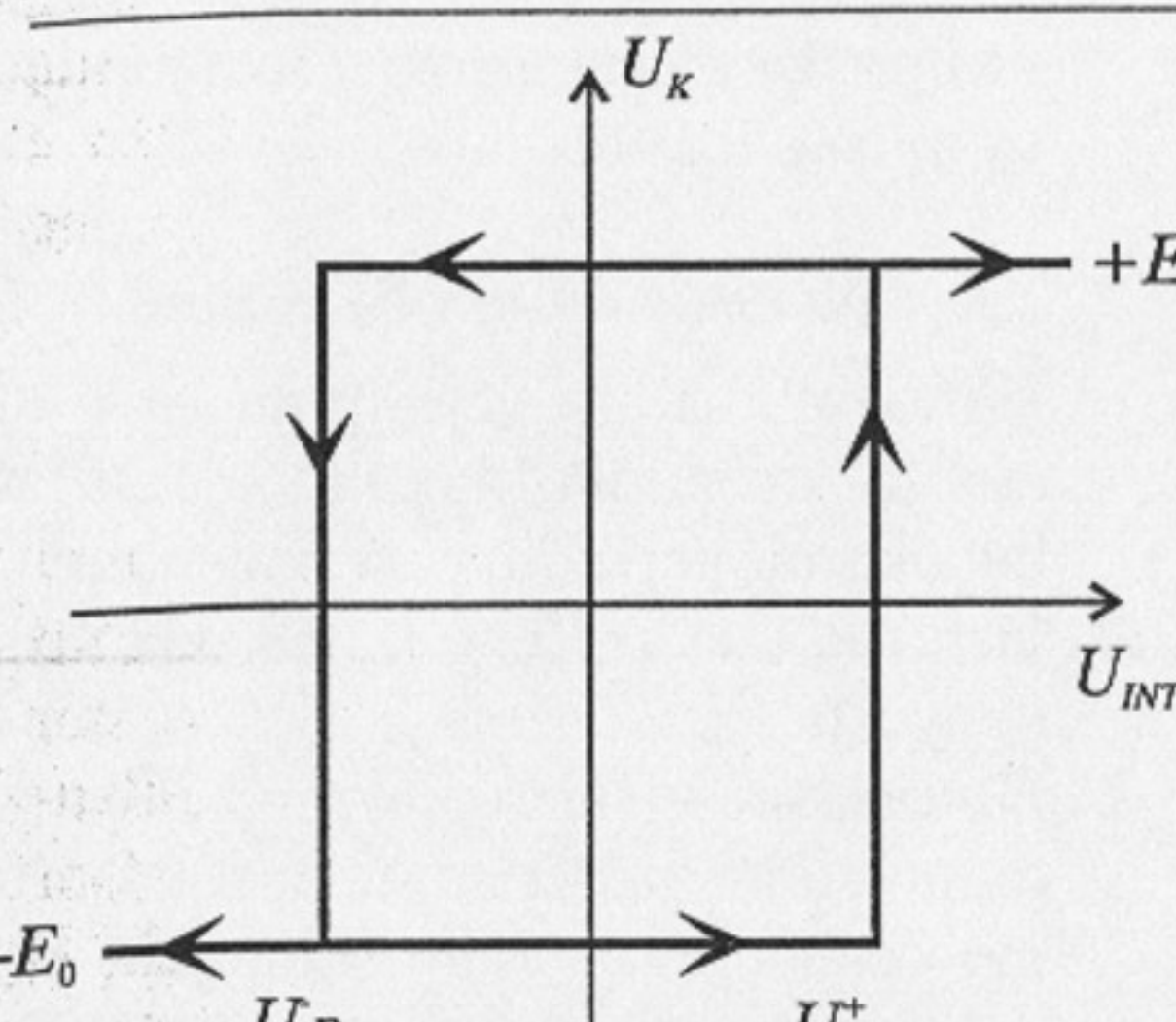
Фиг. 3.6 Генераторна схема на функционален генератор

честотна модулация на сигнала с помощта на външен източник. Вход ЕВ (електронна врата) се използва за управление на генерациите с външни импулси. Генерациите съществуват само тогава, когато на входа е подаден сигнал логическа единица.

### 3.3.2. Принципна схема на генериращата част на функционален генератор

На фиг. 3.6 е показана генераторна схема, в чиито два изхода автоматично се получава правоъгълно, респективно триъгълно напрежение.

Схемата се състои от интегратор и компаратор, обхванати от общ обратна връзка чрез електронен ключ по следния начин. Когато в изхода на компаратора напрежението  $U_K$  има положителна стойност ( $+E_0$ ), към входа на интегратора се подава прецизно напрежение  $+U_{ref}$ . Когато напрежението  $U_K$  сменя полярността си, към входа на интегратора се подава напрежение  $-U_{ref}$ . Схемата може да работи и при положение, че изходът на компаратора е свързан непосредствено към входа на интегратора.



Фиг. 3.7 Предавателна характеристика на компаратор с хистерезис

### Интегратор

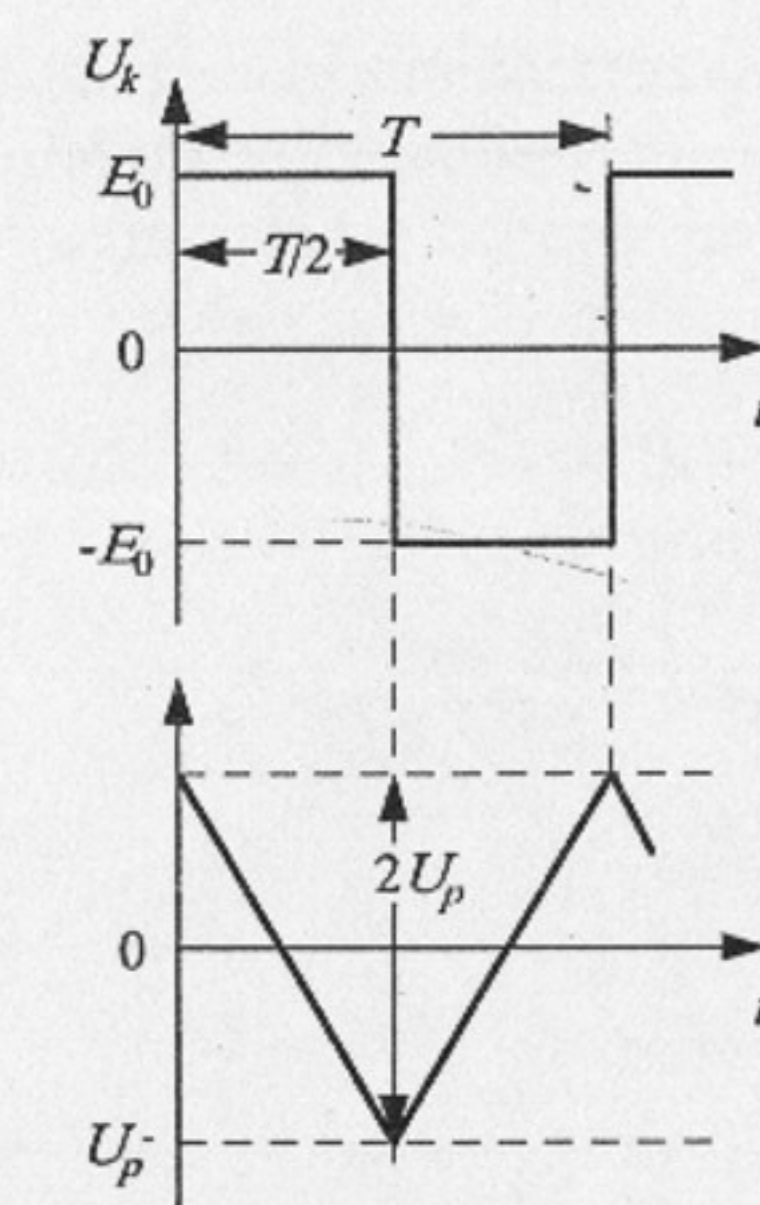
Предавателната функция на интегратора е

$$(3.9) \quad U_{INT} = -\frac{1}{RC} \int_0^t U_{ref} dt.$$

Понеже  $U_{ref} = \text{const}$ , то от (3.9) се получава

$$(3.10) \quad U_{INT} = -\frac{1}{RC} U_{ref} \cdot t + U_{INT}(0);$$

$$\frac{dU_{INT}}{dt} = -\frac{1}{RC} U_{ref}.$$



Фиг. 3.8 Времедиаграми на напреженията във функционален генератор

### Компаратор

Компараторът представлява схема на усилвател, обхванат от положителна обратна връзка чрез резисторите  $R_1, R_2$ . Предавателната му характеристика  $U_K = f(U_{INT})$  е показана на фиг. 3.7.

Хистерезисът се определя от праговите напрежения  $U_p^-$  и  $U_p^+$ , които се намират съгласно формулата

$$(3.8) \quad U_p = -\frac{R_1}{R_2} U_K; U_{K1,2} = \pm E_0.$$

$$(3.11) \quad f = \frac{1}{4RC} \cdot \frac{R_2}{R_1} \cdot \frac{U_{ref}}{E_0}.$$

Съгласно (3.10), когато  $U_{ref} > 0$ ,  $U_{INT}$  намалява по линеен закон с времето. При  $U_{ref} < 0$  напрежението в изхода на интегратора нараства линейно.

Принципът на действие на генератора се основава на обратната връзка, обхващаща компаратора и интегратора. Този принцип може да се проследи, като се използват времедиаграмите, показвани на фиг. 3.8a, б.

Прието е, че в условната нула на времето  $t$  напрежението в изхода на интегратора достига прагово напрежение  $U_p^+$ , при което компараторът превключва изходното си състояние от напрежение  $-E_0$  в напрежение  $+E_0$ , обратната връзка сменя полярността на входното напрежение на интегратора от  $-U_{ref}$  на  $+U_{ref}$  и напрежението в изхода на интегратора намалява. Това продължава, докато изходното напрежение на интегратора достигне отрицателното прагово напрежение на компаратора, при което той отново превключва в изхода му се установява отрицателно напрежение и т. н.

За генерираната честота е валиден изразът

### Управление на честотата във функционалните генератори

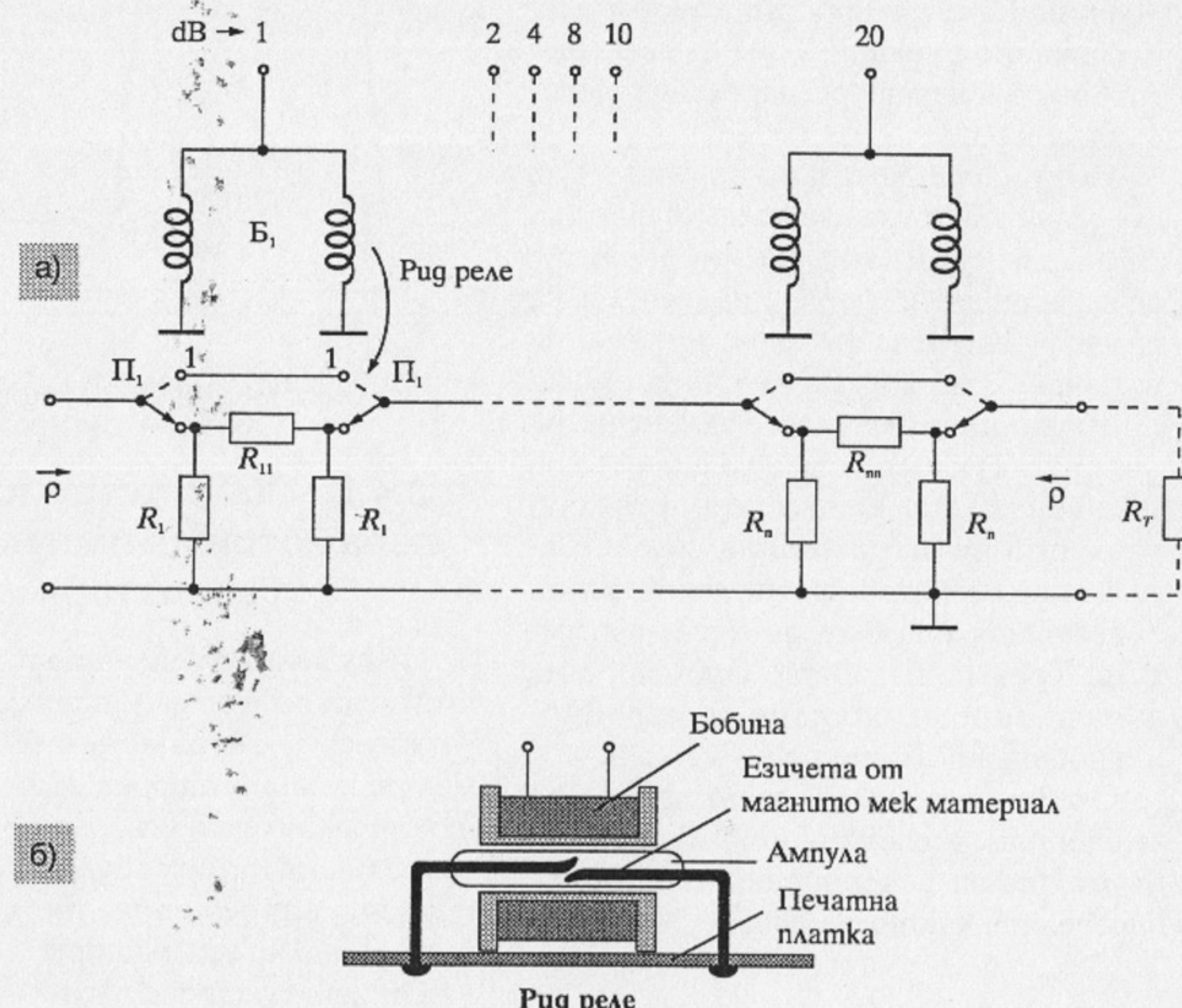
Формула (3.11) показва, че честотата е линейна функция на напрежението  $U_{ref}$ . Следователно нейното изменение може да се управлява чрез  $U_{ref}$ .

Ako  $U_{ref}$  се изменя плавно (примерно с потенциометър), управлението е аналогово.

Ako напрежението  $U_{ref}$  се задава с помощта на цифрово-аналогов преобразувател – честотата се управлява програмно. В този случай изменението е с определена дискретна стъпка.

Ako напрежението  $U_{ref}$  се сумира с периодично изменящо се напрежение, в схемата се получава честотна модулация.

Поради възможността за изменение на честотата посредством напрежение описаната схема от фиг. 3.6



Фиг. 3.9 Програмно управление на затихвател и конструкция на рид-реле

спада към широко известния клас схеми, наречени генератори, управлявани с напрежение (ГУН или VCO – Voltage Controlled Oscillator).

### Управление на амплитудата

Възможни са различни способи за изменение на амплитудата във функционалните генератори. Един от често използвани е цифрово-управляем аттенюатор, при който се включват затихвателни звена, управлявани в степени 1-2-4-8 dB (фиг. 3.9). Физическото включване на звеното се осъществява от магнитно-управляими контакти (рид-релета). Те позволяват монтаж върху самата печатна платка, с което се реализира далечно управление без изнасяне на връзките с активни потенциали до органите за управление.

Елементите на всяко звено се

Таблица 3.1

Означение	$f_{max}$ MHz	Форма на сигналите	$f_{max} / f_{min}$	Вход АМ	Вход ЧМ	Нестабилност $10^{-6}/K$
2206	1		2000/1	да	да	50
2207	1		1000/1	не	да	50
8038	1		1000/1	не	не	50
VFC110	4		-	не	да	-
MAX038	20		$2 \cdot 10^8/1$	да	да	200

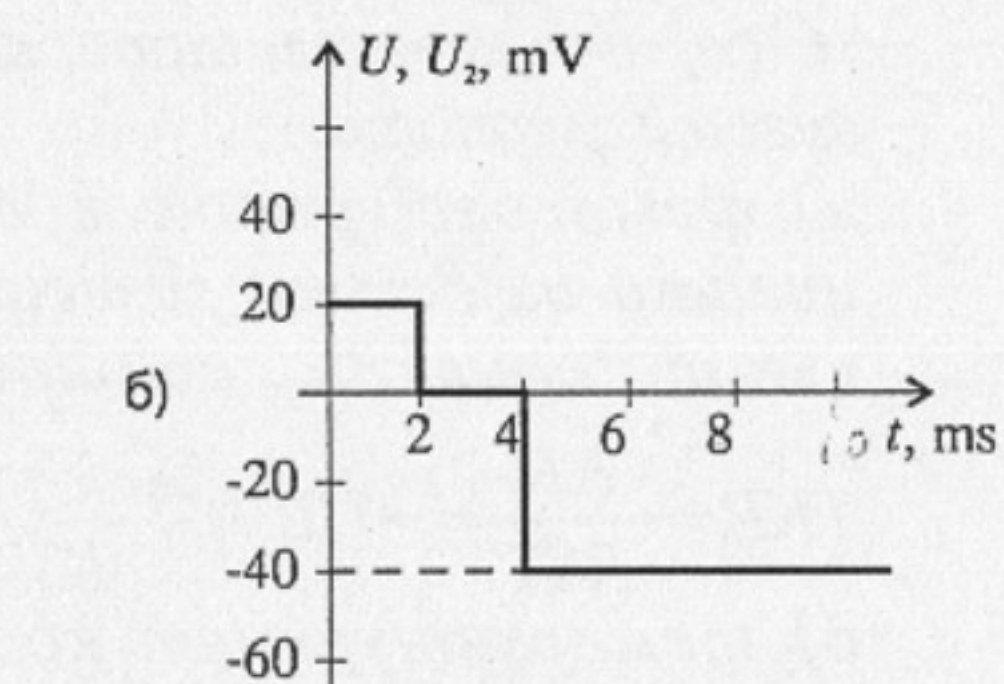
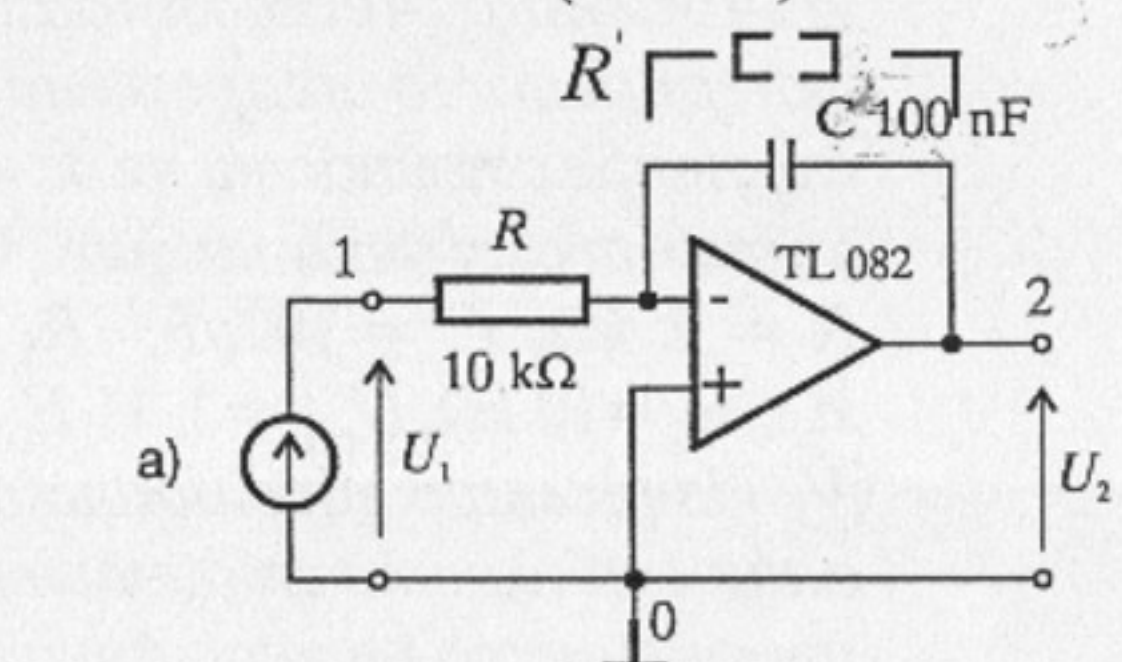
изчисляват с формулите:

$$(3.12) \quad R_n = \rho \frac{1 + K_n}{1 - K_n}; \quad R_{mn} = \rho \frac{1 + K_1^2}{2K_1},$$

където  $\rho$  е характеристично съпротивление ( $50 \Omega$  или  $600 \Omega$ );  $K_n = \frac{U_n}{U_{n-1}}$

– затихването на звеното. В децибели то е равно на  $20 \lg K_n$ . Общото затихване в децибели е сумата от затихванията на включените във веригата звена (превключвателите П са в положение 2). Затихванията на звена са подредени в степени 1-2-4-8, dB.

чието времедиаграма е показана. Направете необходимите изчисления и начертайте времедиаграмата на изходното напрежение при нулево начално условие  $U_2(0)=0$ , като приемете, че операционния усилвател е идеален ( $R' = \infty$ ).



### 3.3.2. Интегрални схеми от типа преобразуватели напрежение – честота

Уникалните свойства на преобразувателите напрежение – честота са причина редица фирми да произвеждат интегрални схеми с такива свойства. При това се използват и други принципи на преобразуване, например автогенериращ мутивибратор (схема 74124), схеми със стабилизиращ ток и гр.

В табл. 3.1 са дадени основни данни за някои интегрални схеми от този тип преобразуватели напрежение – честота.



#### Задачи 3.3

- Към входа на схемата от фиг. 3.10а се подава напрежение,

$$R' = \infty; \quad U_1 = 0; \quad U_{20} = \pm U_{io} \left( 1 + \frac{t}{RC} \right) + I_B^- \frac{t}{C}$$

$$R' \neq \infty; \quad U_1 = 0; \quad U_{20} = \pm U_{io} \left( \frac{R + R'}{R} \right) + I_B^- R'$$

Фиг. 3.10

- При условията на предходната задача и  $R' = \infty$  намерете

грешката в изходното напрежение  $U_{oo}$  в края на втората милисекунда породена от:

- входното напрежение на несиметрия  $U_b = 5 \text{ mV}$ .
- входния поляризиращ ток на операционния усилвател  $I_b = 100 \text{ nA}$ .

б) сумарната грешка

г) изчислете изменението на нулата в изхода при  $R' = 1 \text{ M}\Omega$ .

3. Изведете израз (3.8), изчислете праговите напрежения и начертайте предавателната характеристика на компаратора за  $R_1 = 1 \text{ k}\Omega$ ,  $R_2 = 1 \text{ k}\Omega$ ,  $E_0 = 12 \text{ V}$  (операционният усилвател се приема за идеален).

4. Изведете формула (3.11). Изчислете честотата на генерираното напрежение за следните стойности на величините от схемата на фиг. 3.6.

$R = 2 \text{ k}\Omega$ ,  $C = 10 \text{ pF}$ ,  $R_1 = 1 \text{ k}\Omega$ ,  $R_2 = 10 \text{ k}\Omega$ ,  $U_{ref} = 1 \text{ V}$ ,  $E_0 = 12 \text{ V}$

Изчислете абсолютната и относителната стойности на изменението на честотата за температурни отклонения  $\pm 10^\circ\text{C}$  спрямо номиналната, като знаете следното:

а) температурните кофициенти на всички резистори имат еднаква стойност

$$TKR = \frac{\Delta R}{R \Delta T} = -1,2 \cdot 10^{-4} \frac{1}{K};$$

б) температурният кофициент на кондензатора е



### Контролни въпроси 3.3

- Обяснете действието на компаратора от фиг. 3.6. Изведете праговите напрежения и начертайте предавателната му характеристика.
- Обяснете действието на интегратора от фиг. 3.6. Изведете израза на предавателната му характеристика при условие на идеален операционен усилвател (коффициент на усилване A и входни токове, равни на нула).
- Опишете действието на функционалния генератор, като обясните ролята на общата обратна връзка. Очертайте диаграмите на генерираните напрежения и изведете израза за честотата на генерации.
- Какви начини за регулиране на честотата във функционалния генератор знаете?

## 3.4. Импулсни генератори

### 3.4.1. Обща характеристика

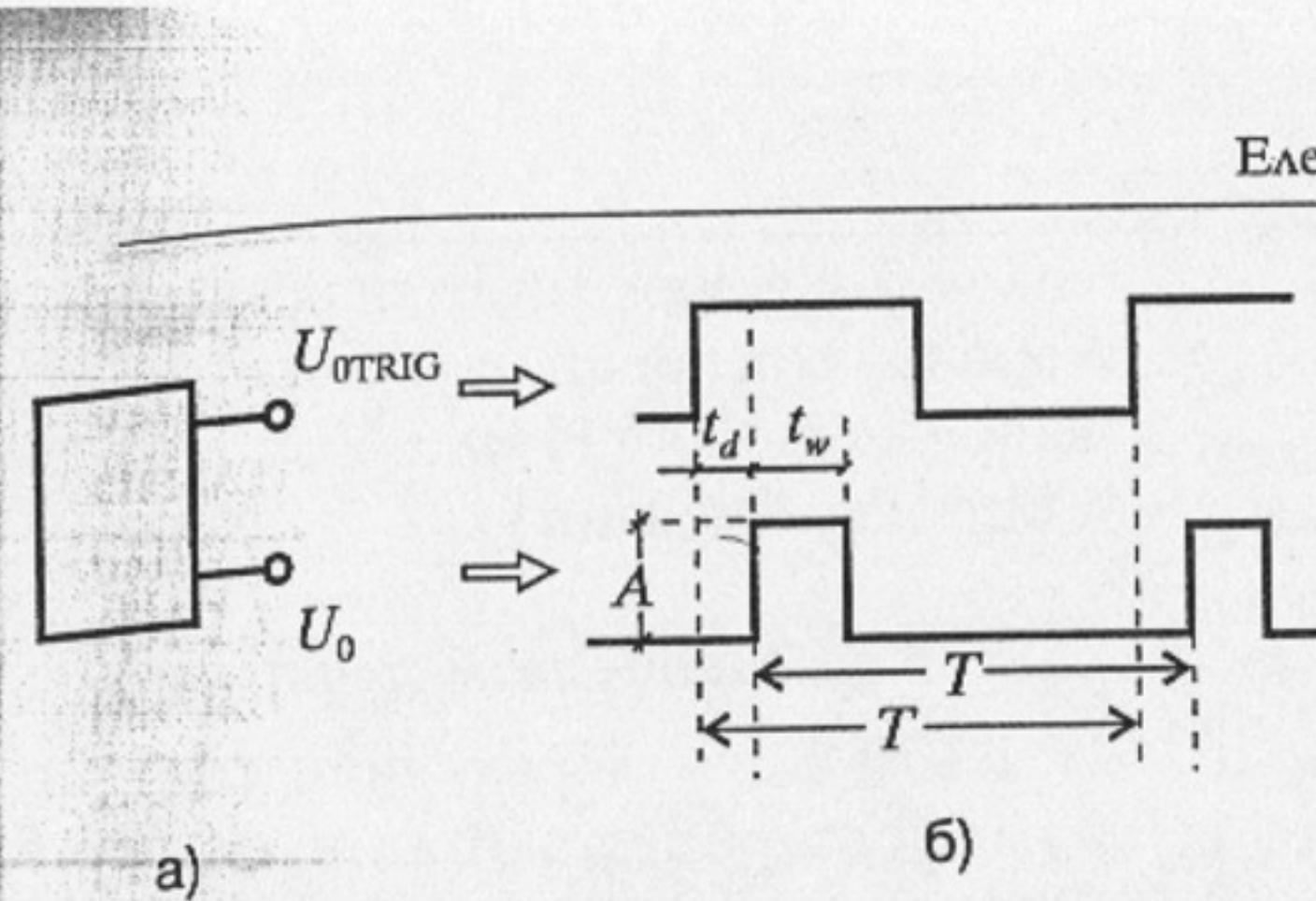
Импулсните генератори създават импулси по форма напрежения с възможности за изменение на параметрите им в широки граници. В най-общия случай те представляват

$$TKC = \frac{\Delta C}{C \Delta T} = 1,5 \cdot 10^{-3} \frac{1}{K};$$

б) температурните кофициенти на изменение на напреженията  $U_{ref}$  и  $E_0$  са съответно:

$$TKU_{ref} = \frac{\Delta U_{ref}}{U_{ref} \Delta T} = 2 \cdot 10^{-3} \frac{1}{K};$$

$$TKE_0 = 8 \cdot 10^{-3} \frac{1}{K}.$$



Фиг. 3.11. Импулсен генератор и неговите изходни напрежения

ните параметри:

$t_r$  – закъснение на импулсите спрямо тези от тригерния вход;

$t_w$  – широчина на импулсите;

A – амплитуда на импулсите.

Съществуват генератори, при които се регулират и фронтовете на импулсите или са създадени възможности за подчиняване на тяхната форма на различните функции. Това са последно поколение генератори, наречени мултифункционални.

Импулсите, показани на фиг. 3.11б, са идеални. Те биха изглеждали така на екрана на осцилоскоп, ако фронтовете на нарастване и спадане на импулса са пренебрежимо малки спрямо тяхната широчина и период. Реалната форма на генерираните импулси е показана на фиг. 3.12. Тук също така са отразени и условията, при които се определят различните параметри, характеризиращи качеството на импулса, т. е. неговата близост до идеалния импулс. Това са неговите фронтове на нарастване и спадане и неравномерността в платото и паузата.

Очевидно минималният период на генерации, респективно максимално възможната генерирана честота се определят, както следва:

$$(3.13) \quad T_{min} = \frac{1}{f_{max}} = t_r + t_{p1} + t_f + t_{p2}.$$

Временните параметри, участващи в израз (3.13), са:

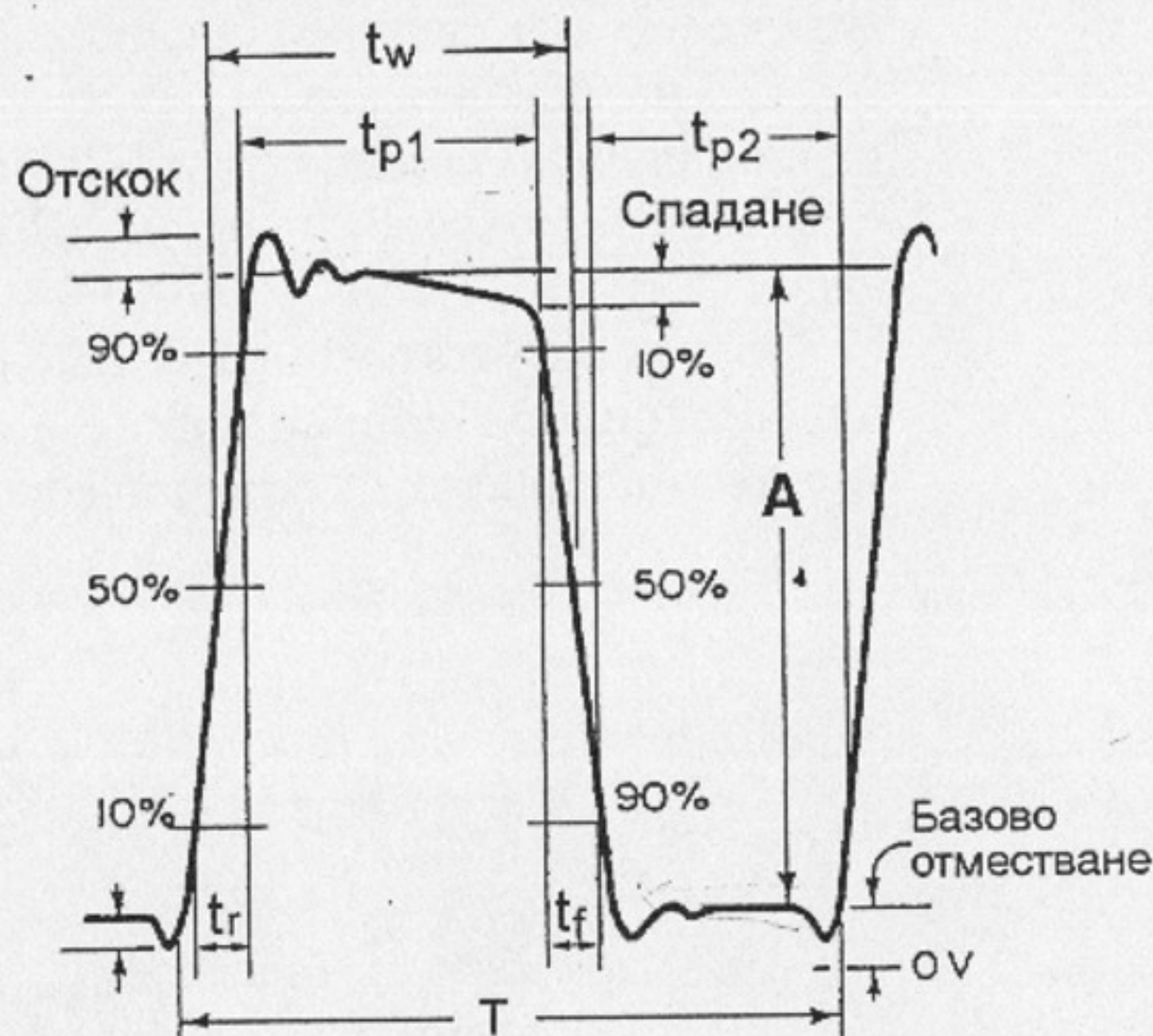
$t_r$  – продължителност на фронта на нарастване на импулса;

$t_{p1}$  – плато на импулса;

$t_f$  – продължителност на фронта на спадане на импулса;

$t_{p2}$  – паузата в рамките на периода.

Очевидно периода може да се намали до стойност  $T_{min} = t_r + t_f$ . Тогава амплитудата на импулса се запазва все още, но импулсите придобиват форма, близка до трионообразната.

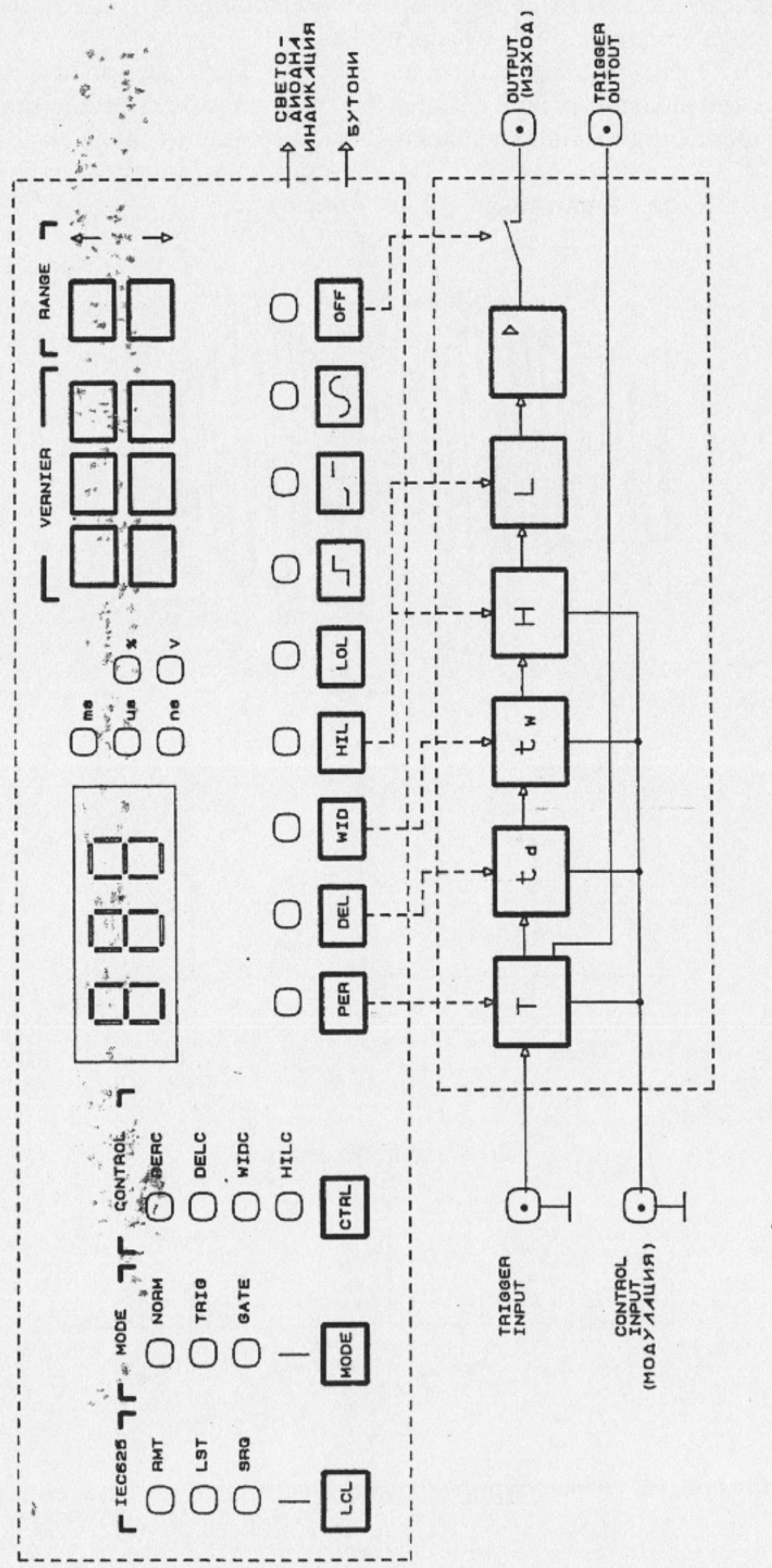


Фиг. 3.12. Форма и параметри на реален сигнал

### 3.4.2. Общо устройство и параметри на импулсните генератори

Импулсните генератори създават импулси по форма напрежения с възможности за изменение на параметрите им в широки граници. Когато от импулсния генератор могат да се извлечат и синусоидални, и трионообразни напрежения, те са мултифункционални генератори.

Общото устройство на съвременен импулсен генератор е показано на фиг. 3.13. От нея се вижда, че генераторът



Фиг. 3.13 Лицев панел и структурни единици на импулсен генератор

има гва изхода и гва входа. Единият от изходите е основен. От него излизат сигнали с програмирани параметри на импулсите: период (PER); закъснение (DEL); ширина на импулсите (WID); високо и ниско ниво на сигнала (HIL, LOL). Вторият изход е тригераен (TRIGGER OUTPUT). Сигналите от този изход са със стандартни TTL нива, коефициент на запълване на импулсите 0,5 и честота на повторение, равна на тази на сигналите от основния изход. Импулсите от тригера изход обаче изпреварват с време  $t_d$  (DEL) импулсите на основния изход.

Параметрите на импулсите се програмират оперативно с натискане на съответен бутон за избор на параметъра. След това посредством бутони RANGE (Обхват) и VERNIER (Стойност) се установява желаната стойност на параметъра. Последната се индицира върху цифров дисплей с 3 десетични цифри.

Основният изход на импулсния генератор може да се изключи. Това се осъществява чрез натискане на бутон OFF.

В структурата на импулсния генератор, показвана на фиг. 3.13, се забелязват гва входа. Единият от тях е тригераен – TRIGGER INPUT. Когато към този вход се подадат сигнали от външен източник, импулсният генератор синхронизира своята работа с честотата на сигналите от външния източник.

Изборът на режим на работа се установява чрез бутон MODE, разположен в левия ъгъл на лицевия панел. Чрез последователното му натискане се обхождат трите възможни режима: NORM (нормален), TRIG (тригераен) и GATE (врата). Избраният режим се индицира от съответен светодиоден елемент.

Вторият вход на импулсния генератор позволява да се реализират раз-

лични видове модулации. За целта периодични сигнали постъпват от външен източник на вход CONTROL INPUT. Видът на модулацията се избира чрез бутон CONTROL. Тогава външният сигнал взаимодейства върху един от структурните блокове T,  $t_d$ ,  $t_w$ , H, L. По този начин могат да се осъществят следните видове модулации: PERC (период) – честотна модулация; DELC (закъснение) – фазово-импулсна модулация; WIDC (ширина на импулсите) – широчинно-импулсна модулация; HILC – амплитудно-импулсна модулация.

Съвременното поколение импулсни генератори в схемотехническо отношение използват принципите за синтез на честоти. Когато основният източник на честота е с кварцов стабилизиран автогенератор, грешката в установяване на честотата и нейната нестабилност (във времето и от температурата) е от порядъка  $10^{-6} \div 10^{-7}$ . Синтезът на честоти се осъществява или с цифрови схеми (броячи, D-тригери и др.) по пръв път, или като заедно с тях се използва система за фазова автоматична донастройка на честотата (PLL – Phase Locked Loop). Във втория случай се предлагат по-широки възможности за реализиране на различни видове модулации на сигнала.

### 3.4.3. Основни характеристики и параметри на импулсните и многофункционалните генератори

Съвременните импулсни генератори и особено мултифункционалните генератори са с изключително богати възможности за създаване на различни по вид стимулиращи взаимодействия. Това определя и тяхната приложимост в широки области на електрониката, използвана като средство за автомо-

матизация.

В приложената таблица 3.2 са дадени измервателните обхвати и стъпката, с която се задават параметрите период  $T$ , време на закъснение  $t_d$  и широчина на импулсите  $t_w$  в генератор ASIK-IG-01, който е представител на съвременното поколение импулсни генератори.

Параметрите са отразени в таблицата,

Таблица 3.2

	Обхват	Разделителна способност	Грешка
1	100 ns - 999 ns	10 ns	
2	1,00 ms - 9,99 ms	10 ns	
3	10,0 ms - 99,9 ms	0,1 $\mu$ s	
4	100 ms - 999 ms	1 $\mu$ s	$1 \cdot 10^{-6}$
5	1,00 ms - 9,99 ms	10 $\mu$ s	
6	10,0 ms - 99,9 ms	0,1 ms	
7	100 ms - 950 ms	1 ms	

са валидни и за съответните модулации, които могат да се осъществят в импулсните генератори. Когато импулсният генератор от този вид генерира и синусоидално по форма напрежение, т. е. представлява мултиспектрален генератор, неговото използване се разпростира във всички сфери на електронната и комуникационната техника.

### 3.5. Сигнал-генератори и вобел-генератори

Това наименование носят специален клас измервателни генератори, предназначени за изследване на радиотехнически устройства и радиопредавателни канали. В елементарния си вид тези генератори покриват радиочестотния обхват от 50 kHz до 1 GHz. Генераторната честота на специален клас микровълнови генератори достига до 60 GHz.

Характерна особеност на сигнал-генераторите е, че в тях е предвидена възможност за амплитудно и честотно модулиране на сигналите. Затова



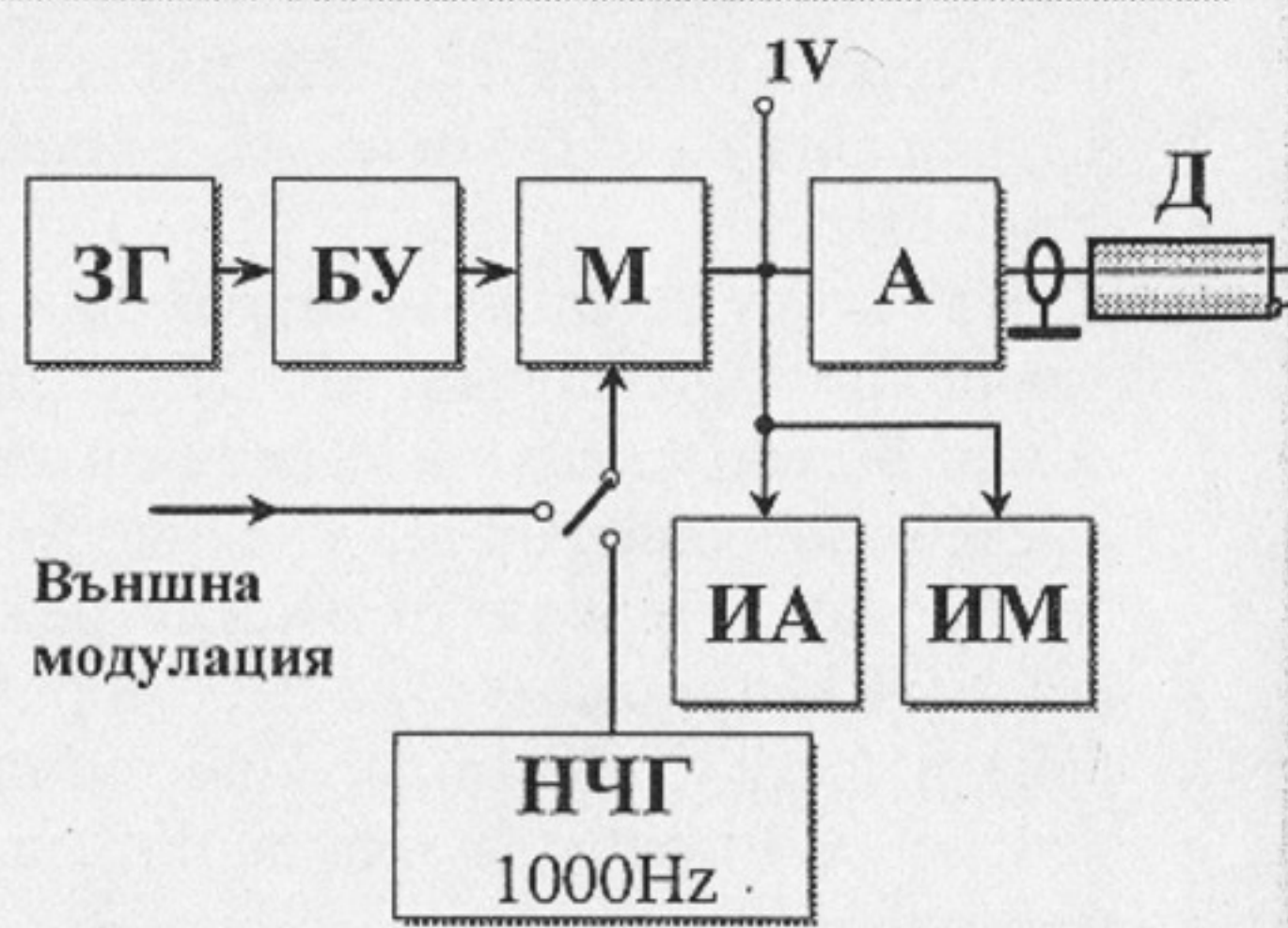
#### Задачи 3.4

- Изчислете максималната честота на генератор, чиито импулси са с фронт на нарастване 3,5 ps и плато 1 ps. Начертайте времедиаграмата на един импулс.



#### Контролни въпроси 3.4

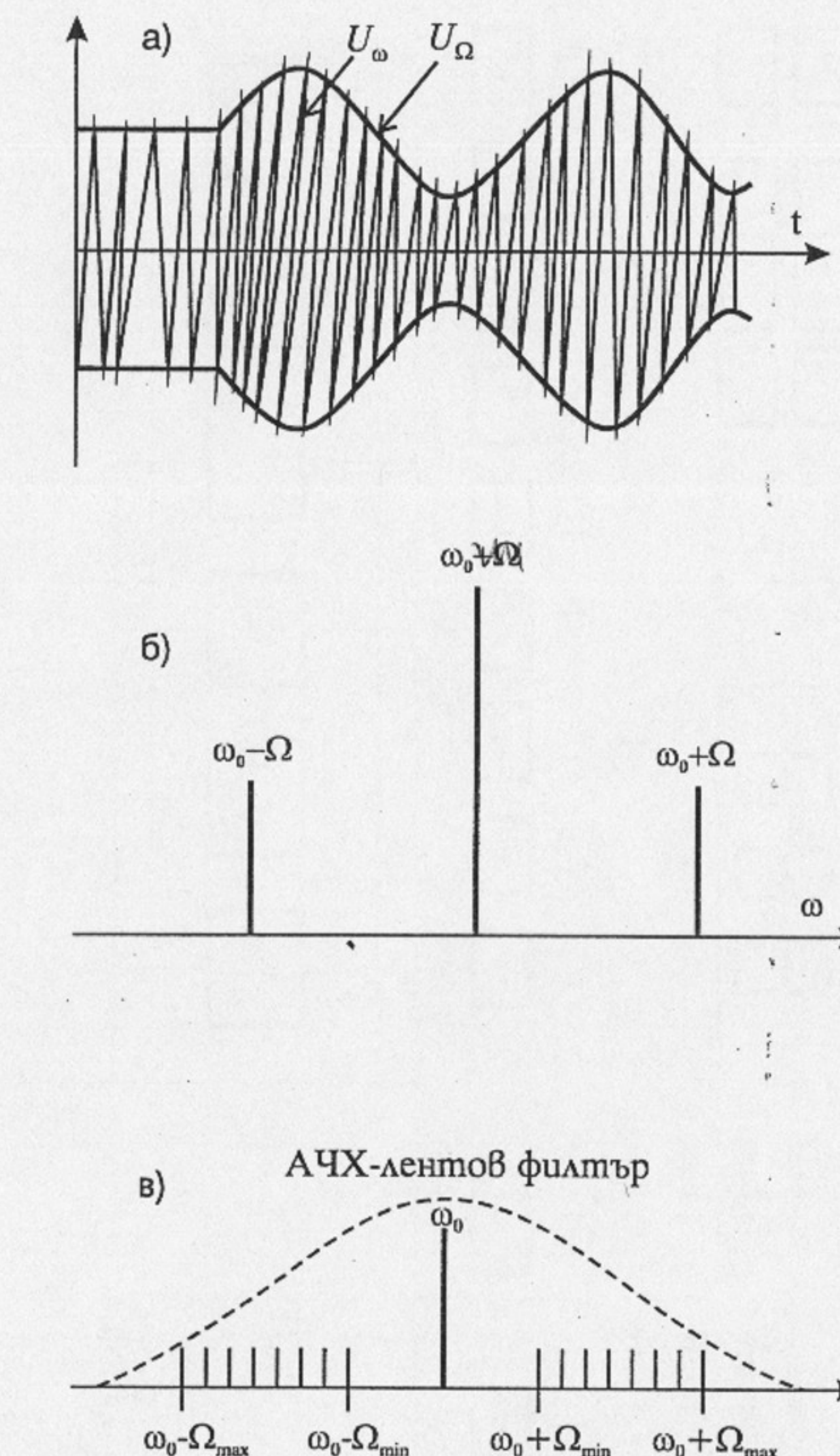
- Какви изходи и входове имат последното поколение импулсни генератори?
- Начертайте идеализираните импулси, получени от тригърния и основния изход на импулсен генератор и отговорете на въпроса кога основни параметри се регулират.
- Начертайте осцилограмата на реален импулс и посочете основните му параметри.
- Намерете периода, респективно честотата на генерации при следните параметри на импулсите: продължителност на фронта на нарастване  $t_r = 3$  ns; продължителността на фронта на спадане  $t_f = 3,5$  ns; плато на импулса  $t_{pl} = 3$  ns и време на покой  $t_{p2} = 3$  ns.



Фиг. 3.14 Структурна схема на сигнал-генератор

структурната схема, показана на фиг. 3.14, се отличава от структурната схема на нискочестотен генератор. Освен задаващ генератор ЗГ, буферен усилвател БУ, измервател на амплитуда ИА и аттенюатор А тук се забелязват следните допълнителни блокове:

Д – Външен делител 10:1.

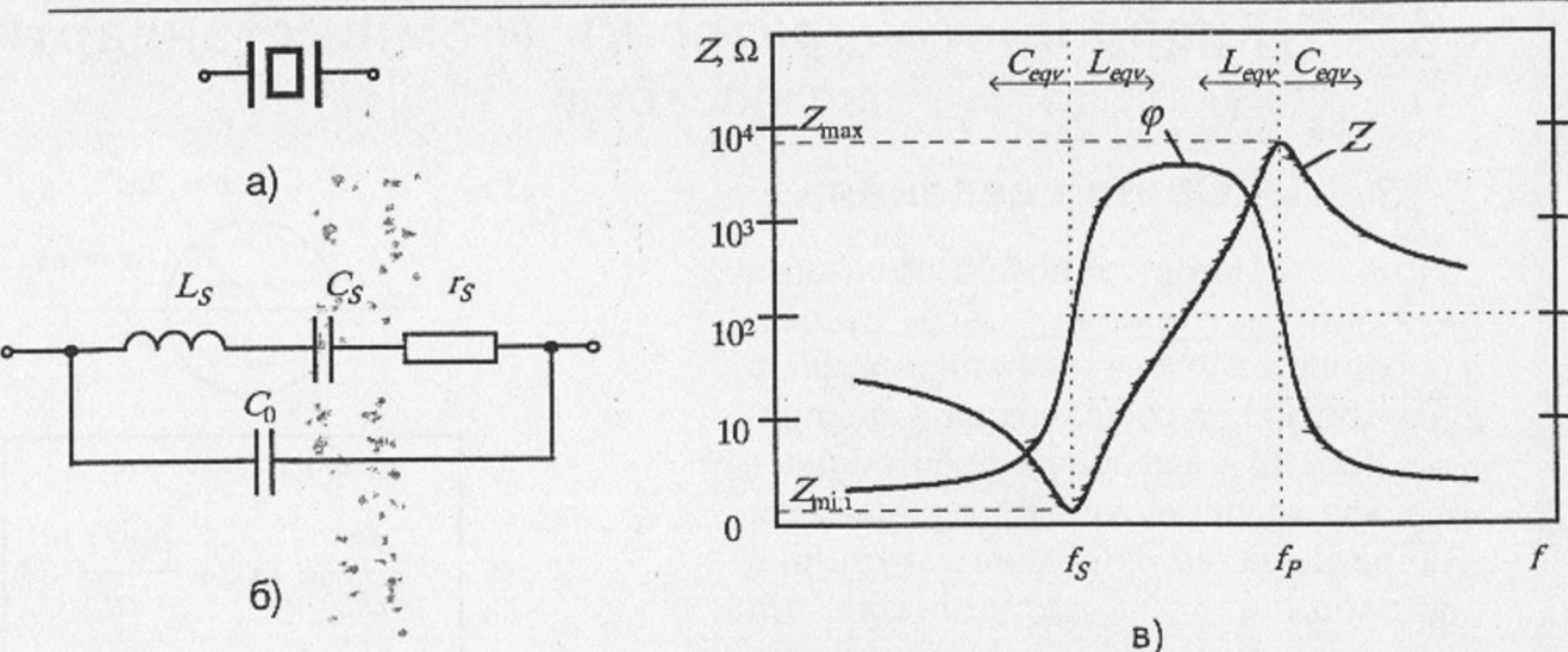


Фиг. 3.15 Амплитудно-модулиран сигнал и неговия спектър

Обикновено се прави във вид на пробник, изнесен в края на коаксиалния кабел, контактуващ с измервателните точки.

М – модулатор. За амплитудно-модулация обикновено се използват умножители на напрежение. При честотна модулация се използват варикари.





Фиг. 3.17. Символично означение (а), еквивалентна схема (б) и импедансни характеристики на кварцов резонатор (в)

на генерираната честота.

На фиг. 3.17а, б, в са показани символичното означение, електрическата еквивалентна схема и зависимостите на модула и фазата от честотата в областта на серийния и паралелния резонанс на кварцовия резонатор. Валидни са следните зависимости:

$$(3.16) \quad f_s = \frac{1}{2\pi\sqrt{L_s C_s}} \quad \text{— честота на сериен резонанс;}$$

$$(3.16a) \quad f_p = \frac{1}{2\pi\sqrt{L \frac{C_s C_0}{C_s + C_0}}} \approx f_s \left(1 + \frac{C_s}{2C_0}\right) \quad \text{— честота на паралелен резонанс;}$$

$$Q = \frac{\omega_s L_s}{r_s} \quad \text{— качествен фактор.}$$

Границите, в които варират параметрите на различните видове кварцови резонатори, са:

$$C_s = 10^{-14} \div 10^{-16} \text{ F};$$

$$L_s = 1 \div 5 \text{ mH} \div 10^6 \text{ H};$$

$$r_s = 5 \div 200 \Omega;$$

$$C_0 = 2 \div 20 \text{ pF};$$

$$f_{1s} = 1 \text{ kHz} \div 500 \text{ MHz} (1^{\text{st}} \text{ гармоник}).$$

ник);

$f_{3s}$  и  $f_{5s}$ : 10 MHz  $\div$  1.5 GHz (3<sup>rd</sup> и 5<sup>th</sup> гармоник).

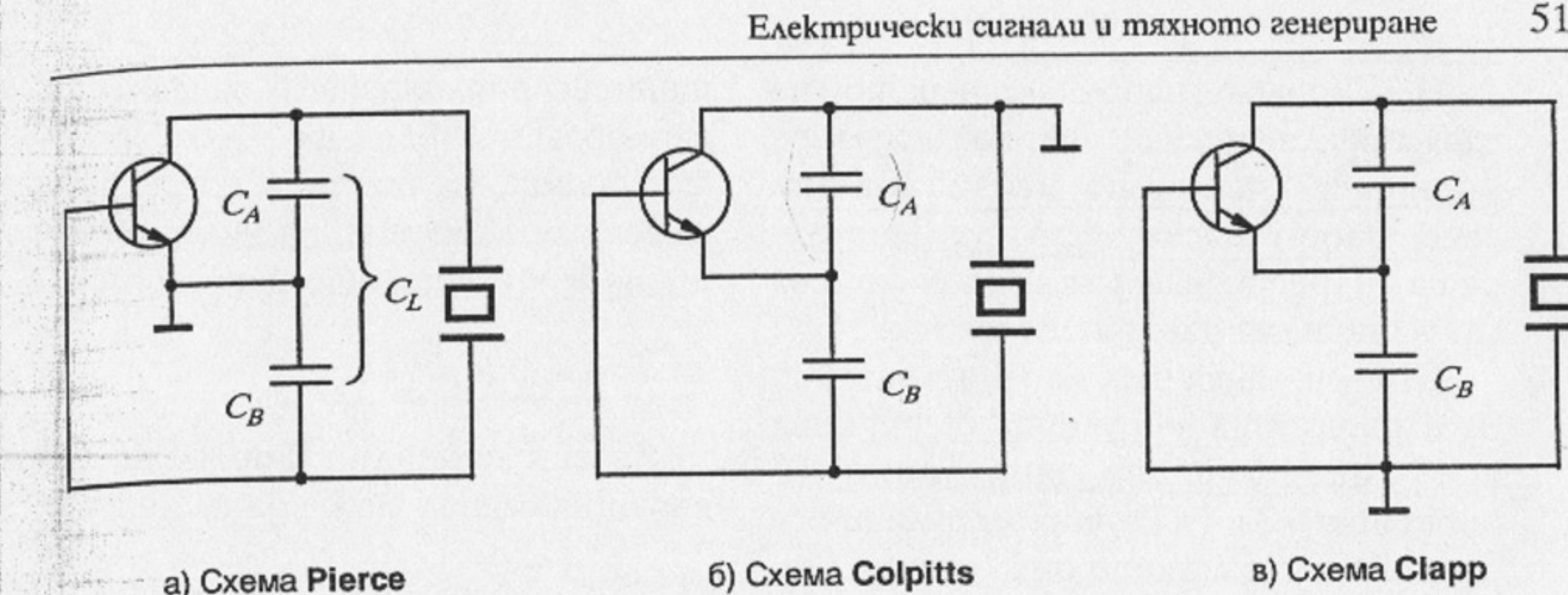
### Кварцови генератори

Кварцовите генератори са генератори от LC-типа, при които в осцилаторния кръг е включен кварцов резонатор. В качеството на активни елементи се използват транзистори (биполярни или полеви), операционни усилватели или цифрови интегрални схеми (тип инвертори).

На фиг. 3.18 са показани основните видове схеми за променлив ток на кварцови генератори (вместо биполярен транзистор може да се постави полеви транзистор).

Честотата на генерации се определя от резонансната честота на образувания трептящ кръг и се намира по формулата

$$(3.17) \quad f_0 = \frac{1}{2\pi\sqrt{L_s C_s (C_0 + C_L)}} = f_s \sqrt{1 + \frac{C_s}{C_0 + C_L}} \approx f_s \left(1 + \frac{1}{2} \cdot \frac{C_s}{C_0 + C_L}\right),$$



Фиг. 3.18. Три основни схеми (за променлив ток) на кварцови генератори

където  $C_L = \frac{C_A C_B}{C_A + C_B}$  е товарен капацитет за резонатора.

Честотата на генерации се отличава от честотата на сериен резонанс на кварцовия резонатор с  $\Delta f$ , като

$$(3.18) \quad \Delta f = f_0 - f_s \approx \frac{f_s}{2} \cdot \frac{C_s}{C_0 + C_L}.$$

Резонансното съпротивление на кръга се определя с формулата

$$(3.19) \quad R_{OE} = \frac{1}{\omega_s^2 r_s (C_0 + C_L)^2}.$$

Условието за самовъзбуждане на схемите от фиг. 3.18 е

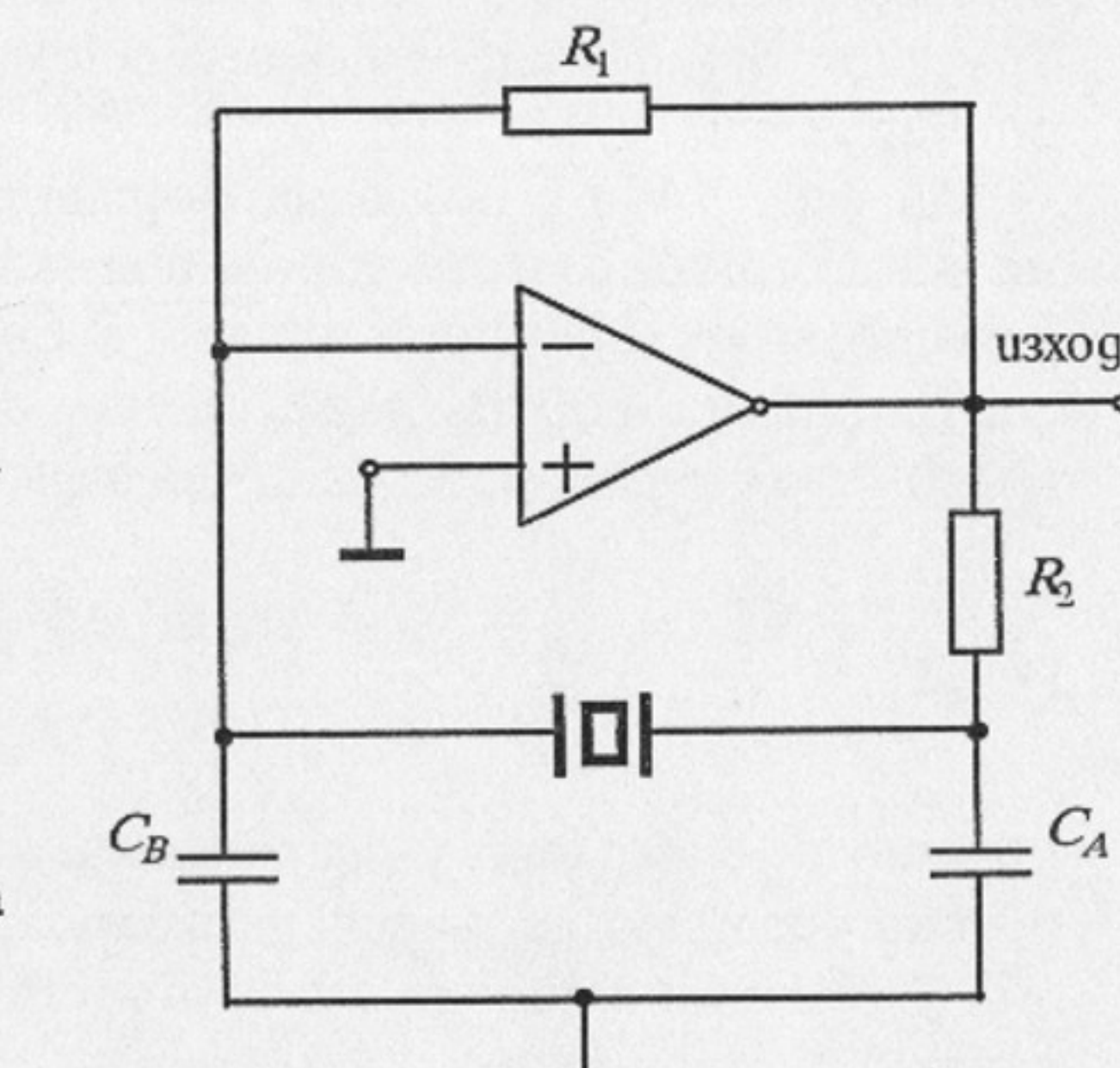
$$(3.20) \quad S_1 R_{OE} \beta = 1,$$

където  $S_1$  е интегралната стръмност на транзистора за първия гармоник на изходния ток;  $\beta = \frac{C_A}{C_B}$  — коефициент на обратна връзка.

Уравнение (3.20) е валидно при условие, че стръмността е реална величина за честотата на генерации.

В цифровата техника (микропроцесорни системи, компютри) в ролята на тактови генератори се използват

схеми с кварцови резонатори и цифрови схеми (тип инвертор) в ролята на активен елемент. Един вариант на такава схема е показан на фиг. 3.19.



Фиг. 3.19. Кварцов генератор с инвертор

**Кварцови генератори, управявани с напрежение (VCO – Voltage Controlled Cristal Oscillator)**

На фиг. 3.20 е показана зависимостта на честотата от товарния капацитет за кварцов кристал с

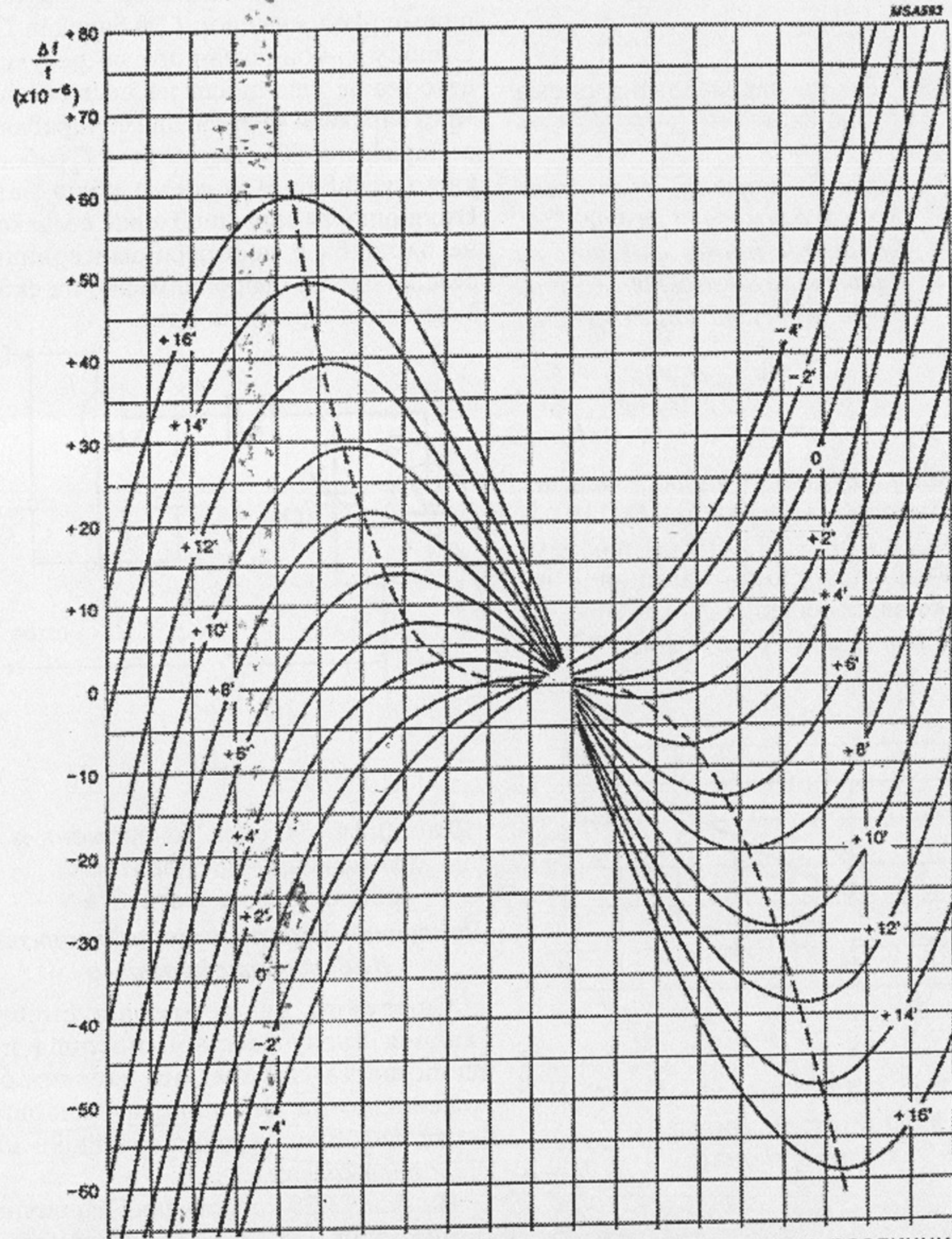


неустабилност на честотата при различни стойности на фазовия ъгъл. От тях може да се отчетат най-благоприятните фазови разлики по отношение на минимизиране на температурните влияния.

Високопрецизни кварцови генератори се получават чрез поставянето им в миниатюрни термостати, при

което температурата за кварца се изменя в граници, по-малки от  $\pm 2^\circ\text{C}$ . Този способ с едновременно предварително трениране на кварцовите резонатори намалява временната и температурната неустабилност до

$$Df/f = 10^{-7} \text{ - } 10^{-8}.$$



Фиг. 3.25. Температурни неустабилности на честотата при различни стойности на фазовия ъгъл

### Кварцови генератори в модулно изпълнение

Широката употреба на кварцовите генератори в електрониката, изчислителната и комуникационната техника са причина много фирми да предлагат готови модули на кварцови генератори, затворени в един корпус.

Забелязват се няколко разновидности, като:

- кварцови осцилатори, управлявани с напрежение (VCO – Voltage Controlled Cristal Oscilator);
- температурно-компенсирали кварцови осцилатори (TCO – Temperature Compensated Cristal Oscilator);
- температурно-компенсирали кварцови осцилатори, управлявани с напрежение.



### Пример

Основни параметри на кварцов осцилатор VCO2 (Philips), управляван с напрежение, са дадени в табл. 3.3, а на температурно компенсиран кварцов осцилатор TCO21 (Philips) – в табл. 3.4.

На фиг. 3.26 е показана управляващата характеристика на кварцов осцилатор VCO2, дадена като относително изменение на честотата в зависимост от управляващото напрежение  $U_{contr}$ .

### Основни приложения

Различните видове кварцови осцилатори се използват широко в най-разнообразни електронни устройства:

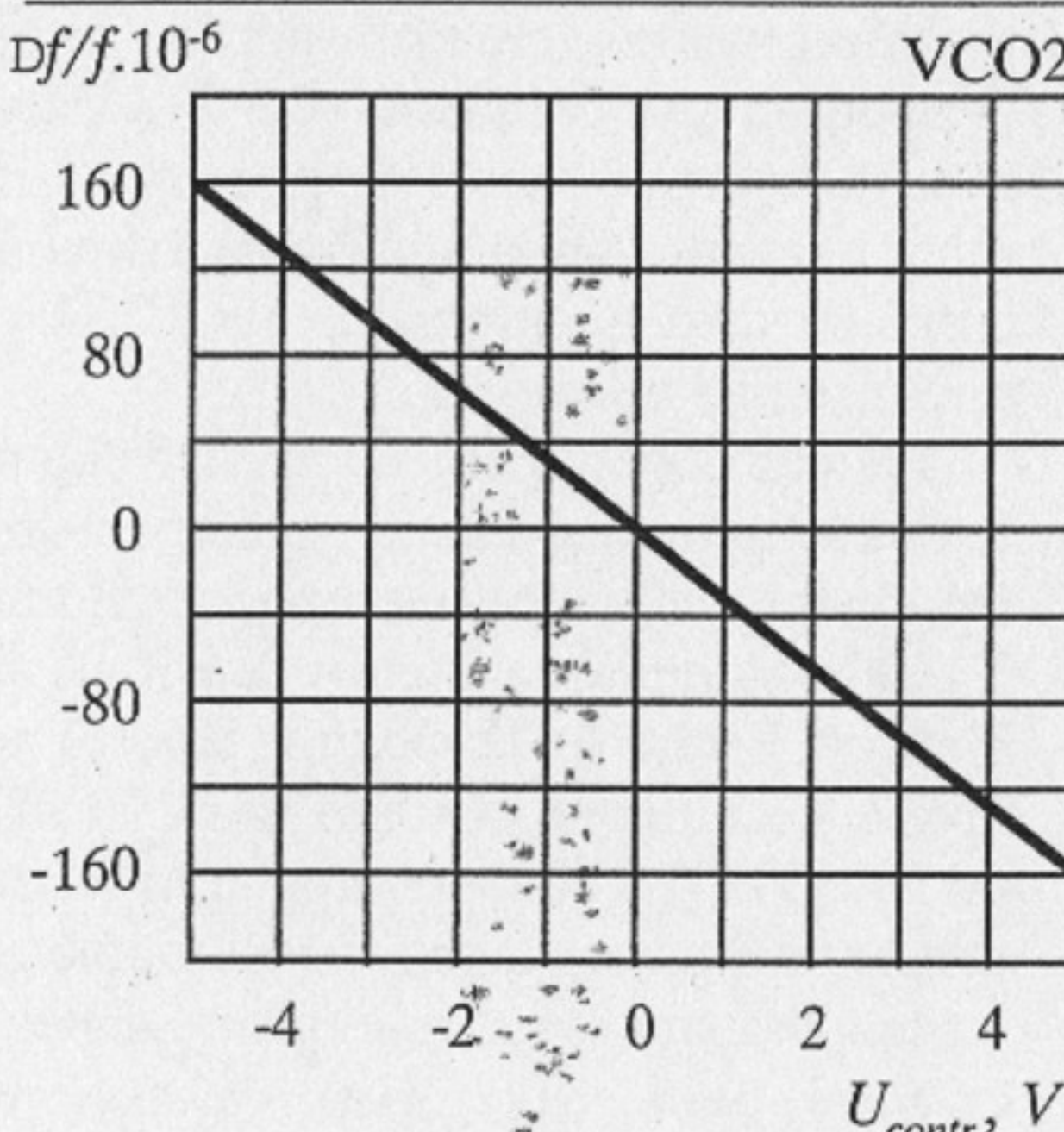
Таблица 3.3

Символ	Единица	Параметър	Условие	max
$f_{nom}$	kHz	номинален честотен обхват		23000
$\Delta f/f_{nom}$	ppm	начално честотно отклонение	$U_{contr} = 0 \text{ V}$	$\pm 30$
$\Delta f/f(T)$	ppm	температурна неустабилност спрямо $25^\circ\text{C}$	$+60 \text{ go } -5^\circ\text{C}$	20
$\Delta f/f(t)$	ppm	временна неустабилност	за 10 години при $60^\circ\text{C}$	$\pm 20$
$\Delta f/f(\text{tot})$	ppm	обща честотна неустабилност (време, температура, захранване, вариация на товара)	$U_{contr} = 0 \text{ V}$	$\pm 45$

Таблица 3.4

Честотен обхват $f_{nom}$ , MHz	Регулиране на честотата $Df/f$	Температурна неустабилност ( $-20 \text{ go } +70^\circ\text{C}$ ) $Df/f$	Временна неустабилност за 1 година	Изходна амплитуда (RMS)
4 - 20	5 ppm*	$\pm 1 \text{ ppm}$	1 ppm	350 mV

\*  $1 \text{ ppm} = 1.10^{-6}$



Фиг. 3.26. Модулационна характеристика

- електронни броячи;
- електронна измервателна апаратура;
- синтезатори на честота;
- мобилни телефони.



### Задачи 3.6

1. Кварцов резонатор има следните моделни параметри:  $L_s = 9,7385 \text{ mH}$ ;  $r_s = 4,75 \text{ W}$ ;  $C_0 = 26,029 \text{ fF}$ .  
a) Начертайте еквивалентната схема на резонатора и нанесете стойностите на съответните елементи.  
б) Изчислете честотите на серийния резонанс  $f_s$ , на паралелния резонанс  $f_p$  и определете тяхната разлика.  
в) Намерете качествения фактор на еквивалентния трептящ кръг.  
г) Намерете честотата на генерации  $f_g$  при товарен капацитет  $C_L = 20 \text{ pF}$  и определете фазовия ъгъл, при който ще работи кварцовият резонатор. Какви са стойно-



### Контролни въпроси 3.6

1. Начертайте еквивалентната схема на кварцов генератор и изведете изразите за честотите на серийния и паралелния резонанс.
2. Начертайте трите основни осцилаторни схеми с кварцови резонатори. Опишете принципа на действие. Какво е условието за самовъзбуждане?
3. Кои са основните параметри, характеризиращи стабилността на кварцовите резонатори?
4. Какво представлява Варикапът? Каква функция описва изменението на капацитета от напрежението? А от температурата?
5. Назовете кварцови генератори в модуло изпълнение. Къде намират приложение?

стите на еквивалентната му индуктивност и на резонансното съпротивление?

2. Коефициентът на температурна нестабилност на честотата на кварцовия резонатор е  $0,5 \text{ ppm}/^\circ\text{C}$ . Намерете абсолютната и относителната стойност на честотното отклонение в температурна област  $25^\circ\text{C} \pm 2^\circ\text{C}$ , ако при  $25^\circ\text{C}$  честотата на генериране е  $10,000 \text{ MHz}$ .

## 3.7. Синтезатори на честота

### 3.7.1. Общи сведения

В т. 3.6 са изложени принципите на високостабилните източници на еталонни честоти. Практиката обаче налага използването на точни и стабилни честоти в широк честотен диапазон – от няколко херца до СВЧ. На тези изисквания отговарят съвременните синтезатори на честота, при които от една или няколко еталонни честоти се възпроизвеждат същата точност гама от честоти през определена дискретна стъпка. За целта се използват операциите събиране, изваждане, деление и умножение на честоти.

Най-елементарен начин за получаване на серия от честоти е да се получат хармоники от сигнала с еталонна честота с помощта на нелинеен елемент. Този принцип се използва в диапазонни генератори на синусоидални трептения за създаване на серия от калибровъчни честоти.

Методите за синтез на честоти се делят на кохерентни и некохерентни. При първия метод синтезът се извършва на основата на няколко изходни еталонни честоти. При втория метод се използва една-единствена честота.

Преобразуването може да бъде пряко и косвено. Прякото преобразуване прилага непосредствено методите на деление, умножение и смесване на честоти. Косвените методи използват принципа на обратна връзка.

### 3.7.2. Синтез на честотата с PLL-схема

Широко приложение намират синтезаторите на честота, при които генератор, управляем с напрежение

(ГУН) е обхванат от верига на обратна връзка за фазова автоматична донастройка на честотата (PLL – Phase Locked Loop). Класическа структурна схема на такъв синтезатор е показана на фиг. 3.27.

#### Принцип на действие

Принципът на действие на синтезатора на честота, показан със схемата на фиг. 3.27, се основава на фазовото сравняване на високо стабилна честота  $f_{\text{ref}}$  с честотата на генератор, управляем с напрежение – ГУН. Фазовият детектор изработва постоянна съставка, пропорционална на фазовата разлика между двата сигнала. Тази съставка управлява честотата на ГУН така, че фазовата разлика между двата сигнала се свежда почти до 0. По този начин се получава изравняване на честотата на сигнала, генериран от ГУН, с високо прецизна честота  $f_{\text{ref}}$ .

Голям брой високо стабилни честоти, установявани през определена дискретна стъпка, се получават чрез използването на двата програмируеми брояча. Единият от тях – R-брояч, дели честотата  $f_0$  на кварцов генератор R пъти. Другият – N-брояч, осъществява аналогична процедура с честотата  $f_{\text{out}}$  на сигнала, генериран от ГУН. От

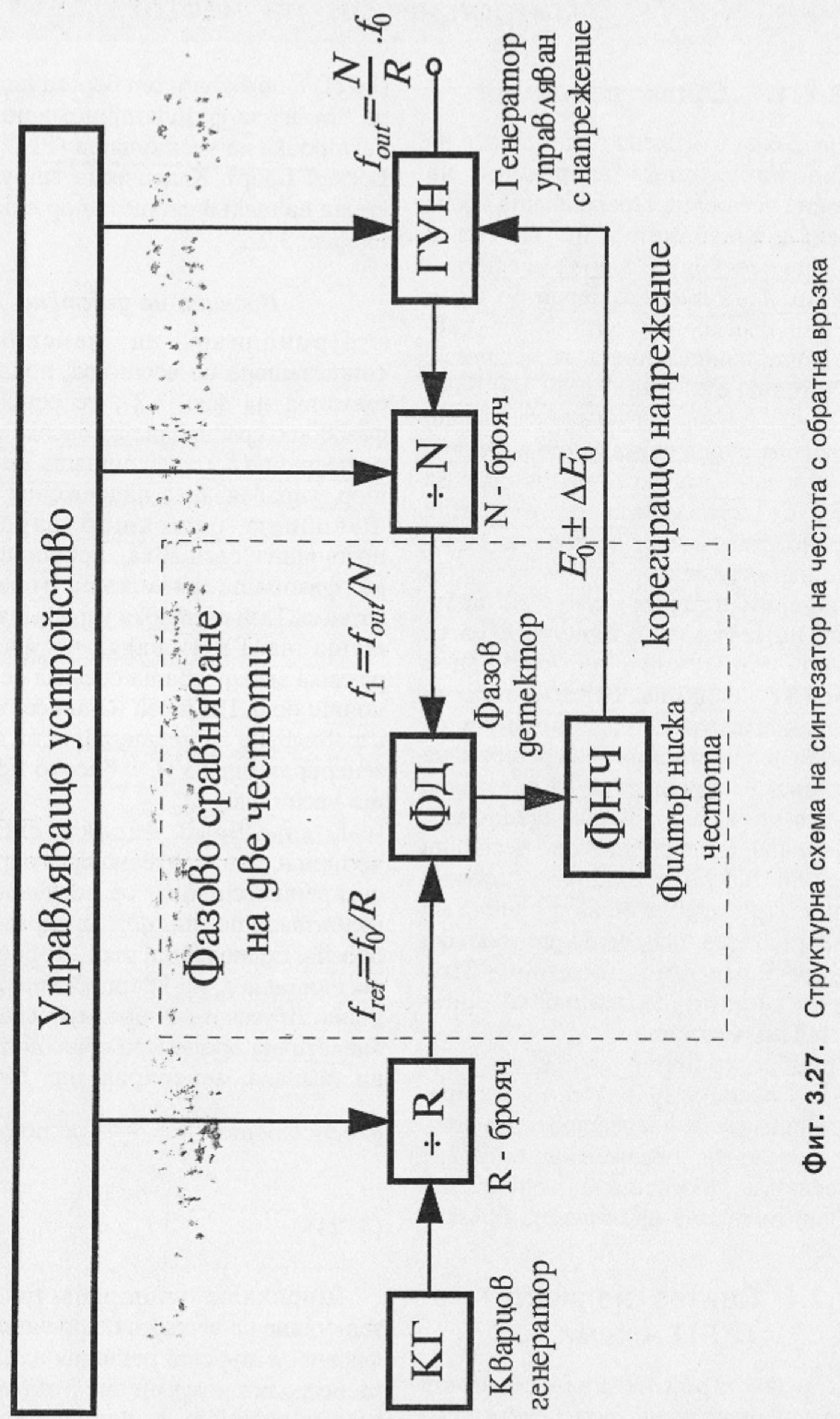
$$\frac{f_0}{R} = \frac{f_{\text{out}}}{N}$$

се получава

(3. 24)

$$f_{\text{out}} = \frac{N}{R} f_0.$$

Широката употреба на синтезаторите на честота е причина редица фирми да търсят решения на модули в интегрално изпълнение, изпълняващи голяма част от функциите на синтезатора. Един такъв пример е схемата



Фиг. 3.27. Структурна схема на синтезатор на честота с обратна връзка

MC145159 (Motorola), която съдържа осцилатора на прецизната честота (с външно свързване на квартовия резонатор), броячните схеми, фазовия детектор и логически схеми за управление.

#### Схемотехнически особености

Генераторите, управлявани с напрежение, за по-високи честоти нормално са от LC тип. Донастройка на честотата се осъществява с варикапи.

Съществува голямо разнообразие на схеми на фазови дискриминатори. На фиг. 3.28 е показана в структурен вид схема на фазов дискриминатор от типа следене-запомняне, а на фиг. 3.29 са дадени временните диаграми, поясняващи принципа на действие.

Електронният ключ  $EK_1$  се управлява от тесни импулси, изработени от сигнала с прецизна честота. Той се затваря периодично за кратко върху кондензатора  $C_1$ . През останалото време  $C_1$  се зарежда с постоянен ток и напрежението му нараства линейно – фиг. 3.29 б. Едновременно с това електронният ключ  $EK_2$  на схемата следене-запомняне стробира сигнала върху  $C_1$  синхронно с тесни импулси, изработени от сигнала

с честота  $f_1 = \frac{f_{out}}{N}$ . По този начин върху кондензатора  $C_2$  се установява стойността на линейното напрежение в момента на стробирането. Това напрежение управлява ГУН (фиг. 3.27). Когато периодът на генерираното напрежение от ГУН се увеличи по някаква причина, то и напрежението, получено върху запомняния кондензатор  $C_2$ , нараства с  $\Delta E$ , както е показано на фиг. 3.29 б. Увеличаването на това напрежение поляризира допълнително варикапа в осцилатора в обратна посока и неговият капацитет се намалява. Честотата на

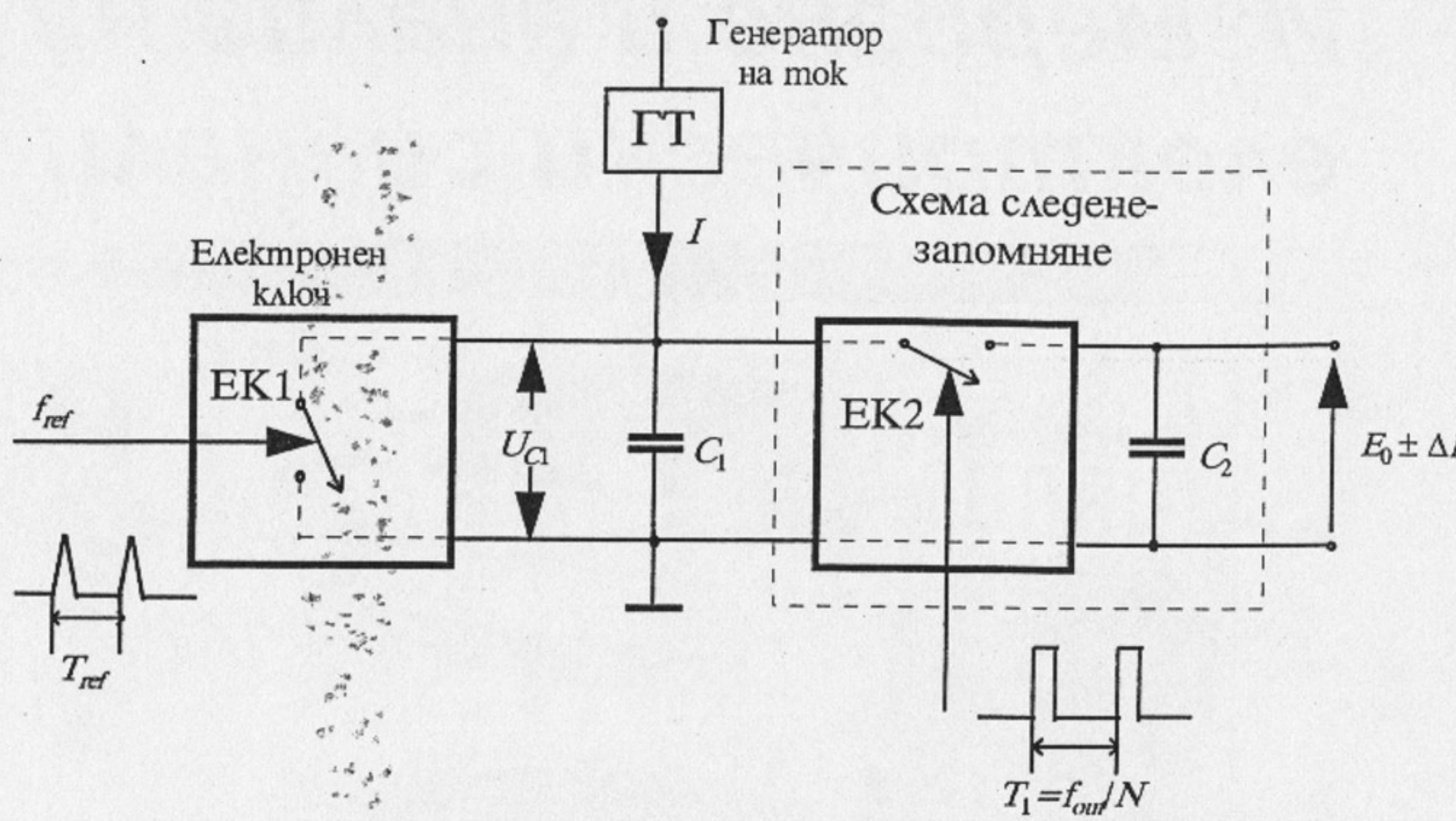
трептенията се повишава, т. е. периодът им се намалява. На този принцип работи Веригата на отрицателна обратна връзка, която стабилизира честотата на ГУН до прецизната честота  $f_{ref}$ .

Редица водещи фирми произвеждат високостабилни сигнал-генератори, базиращи се на синтез на честоти. Такива модели са 8656A и 8662A на Hewlett Packard. Първият модел покрива честотен обхват от 100 kHz до 90990 MHz. Цифров индикатор със седем цифри показва стойността на установената честота (разрешаваща способност 100 Hz). Отделен двуцифров индикатор показва процента на амплитудната модулация или на честотната девиация. Третият индикатор показва установената изходна амплитуда. Вторият модел 8662A работи в честотна област от 10 kHz до 1280 MHz. При него с единаесетцифров индикатор се показва установената честота. И при двата модела параметрите на изходния сигнал могат да се програмират ръчно чрез използване на бутонната система на лицевия панел или автоматично чрез управление от ЕИМ.

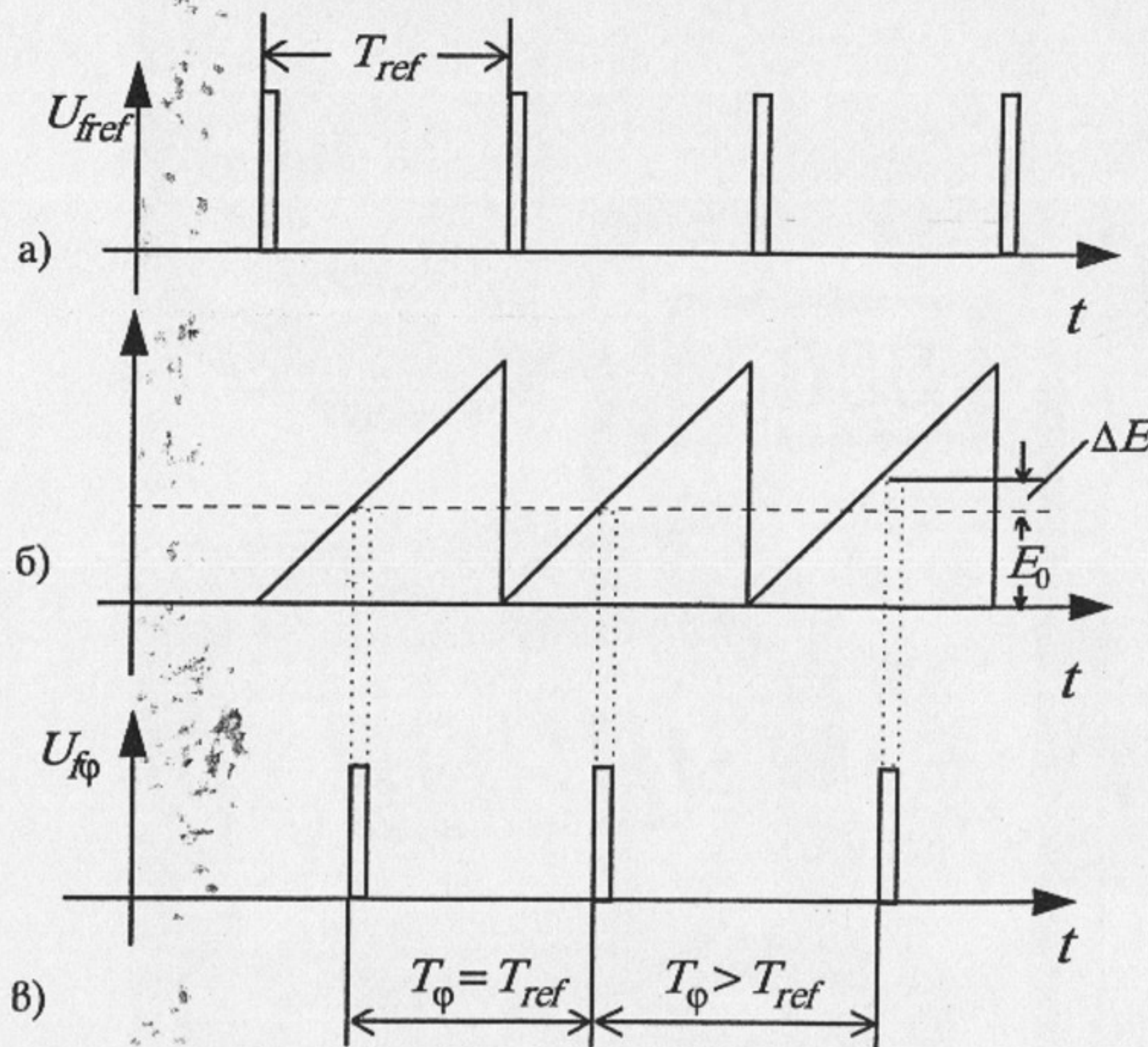


#### Контролни въпроси 3.7

1. Начертайте структурната схема и опишете принципа на действие на синтезатор на честота с PLL схема.
2. Начертайте структурната схема и опишете принципа на действие на фазов детектор, използваш схема следене-запомняне.



Фиг. 3.28. Фазов детектор



Фиг. 3.29. Принцип на действие на фазов дискриминатор

## Обобщение

Разнообразието на видовете съществуващи генератори на сигнали е изключително богато. Това разнообразие произтича от потребностите на различните области на радиоелектронната и компютърната техника. Нискочестотните генератори са синусоидални по форма сигнали са с масово приложение в лабораторната и производствената практика. С тяхна помощ се тестват нискочестотни усилватели и филтри, електронни елементи и др. Обикновено покриват честотната област  $20 \text{ Hz} \div 20 \text{ kHz}$ .

Функционалните генератори са с големи възможности по отношение на формата на генерираните напрежения, поради което се разширяват и приложните им области. Покриваната честотна област е обикновено от ня-

колко херца до няколко мегахерца.

Импулсните генератори генерират импулсни напрежения с определени параметри и възможности за тяхното изменение. С тях се изследват основно цифрови схеми и устройства. Генерираните честоти достигат до  $100 \text{ MHz}$ .

Специална класа са сигнал-генераторите, в които се генерират модулирани сигнали – чрез амплитудна и честотна модулация. Приложението им е в радио-съобщителната техника. Достигнати са честоти до няколко и десетки гигахерца.

Към всички тези категории генератори на сигнали могат да се добавят и специалните генератори, използвани в телевизията и цифровите комуникации, генераторите на данни за тестване на цифрови схеми и системи и др.